

ECOLE NATIONALE POLYTECHNIQUE

DEPARTEMENT : D'ELECTRONIQUE

الدراسة الوطنية المتعددة التخصصات  
BIBLIOTHEQUE - المكتبة  
Ecole Nationale Polytechnique

**PROJET DE FIN D'ETUDES**

**SUJET**

SIMULATION DE L'ANALYSE DE LA PAROLE

A L'AIDE DU MICROPROCESSEUR

TMS 320 10

Proposé par :

N. BENIDDIR

Etudié par :

H. OUHAB

D.E. TALBI

Dirigé par :

N. BENIDDIR

PROMOTION : JUIN 1987

DEDICACES

---

المدرسة الوطنية المتعددة التقنيات  
BIBLIOTHEQUE — المكتبة  
Ecole Nationale Polytechnique

Je dédie ce modeste travail :

- A la mémoire de mes grands parents .
- A mon père et ma mère .
- A mes frères et soeurs .
- A toute ma famille .
- A tous mes amis .

DJAMAL EDDINE

---

Je dédie ce modeste travail :

- A la mémoire de mes grands parents .
- A mon père et ma mère .
- A mes frères et soeurs .
- A toute ma famille .
- A tous mes amis .

HACENE

---



R E M E R C I M E N T S

---

Nous tenons à exprimer nos vifs remerciements à notre promoteur Mr N. BENIDDIR, pour son aide permanente et ses précieux conseils qu'il nous a prodigués tout le long de ce travail .

Nous remercions également, Mr BOUSSEKSOU pour ses précieux conseils .

Que Mr SAADOUN et Mme HAMAMI trouvent en ses lignes l'expression de notre profonde gratitude pour l'aide précieuse qu'ils nous ont apporté .

La frappe de ce polycopié à été faite par Mr M. TALBI, qu'il trouve ici l'expression de notre sincère reconnaissance .

Que tous ceux qui ont contribué à notre formation trouvent ici l'expression de notre gratitude .

S O M M A I R E

INTRODUCTION

CHAPITRE I : ETUDE DU T M S 320 IO.

A/ EXPOSE DES CARACTERISTIQUES

I-1 - Description . . . . .	I
I-2 - Architecture . . . . .	2
I-3 - Eléments constituant le Hardware . . . . .	5
I-4 - Les instructions . . . . .	10
I-5 - Modes d'adressage . . . . .	12
I-6 - Interfaçage et contrôle . . . . .	14
I-7 - L'assembleur . . . . .	17
I-8 - Systèmes et logiciels de développement . . . . .	21

B/ SIMULATION

I-1 - Mise en oeuvre de la simulation sur le micro ordinateur OLIVETTI M 24 . . . . .	24
I-2 - Commandes du simulateur . . . . .	26
I-3 - Chargement des fichiers . . . . .	27
I-4 - Chargement de la mémoire de données . . . . .	29
I-5 - Simulateur des fichiers journaux . . . . .	30

CHAPITRE II : ETUDE DES METHODES D'ANALYSE DE LA PAROLE

INTRODUCTION

II-1 - Analyse cepstrale . . . . .	31
II-2 - Analyse par prédiction linéaire . . . . .	38
II-3 - Comparaison des deux méthodes d'analyse . . . . .	47



CHAPITRE III : MISE EN OEUVRE DE L'ANALYSE A L'AIDE  
DU T M S 320 IO

III-I - Mise en oeuvre de la méthode L P C . . . 48  
III-2 - Mise en oeuvre de la F. F. T . . . . . 52

CHAPITRE IV : RECOMMANDATIONS EN VUE DE LA REALISATION  
D'UN SYSTEME DE RECONNAISSANCE DE LA  
PAROLE EN UTILISANT LE T M S 320 IO.

IV-I - Reconnaissance de la parole . . . . . 55  
IV-2-- Mise en application  
sur le TMS 320 IO . . . . . 56

PROGRAMMATION . . . . . 59  
CONCLUSION . . . . . 70  
ANNEXE  
BIBLIOGRAPHIE



## INTRODUCTION

### Généralités :

La possibilité d'utiliser la parole, moyen naturel et privilégié de communication, dans le dialogue homme-machine, ouvre de nombreuses applications parmi lesquelles nous pouvons citer : les commandes de machines outils et robots, les conceptions de systèmes assistés par ordinateurs, les machines d'aide aux handicapés,...

L'analyse acoustique est une partie importante que subit le signal sonore pour pouvoir réaliser un système de reconnaissance de la parole.

Si les progrès réalisés du point de vue algorithmiques (FFT, DTW, classification, ...) ont permis un accroissement très important des performances des systèmes de reconnaissance, les progrès de la technologie ont contribué à cet accroissement du point de vue vitesse de traitement.

Aussi, la communication parlée doit-elle son regain d'intérêt à l'électronique numérique et particulièrement aux microprocesseurs spécialisés en traitement du signal.

### Présentation du travail :

Notre projet de fin d'études comprend deux axes principaux :

- Etudier le microprocesseur TMS 320 10 de texas instruments spécifique au traitement du signal.
- Développer des programmes en assembleur pour l'analyse de la parole, à l'aide de la simulation du TMS 320 10 sur OLIVETTI M24.

Pour atteindre ces objectifs, le travail a été mené de la manière suivante :

Le premier chapitre est consacré à la présentation du TMS 320 10 ainsi que la mise en oeuvre de sa simulation sur le micro-ordinateur OLIVETTI M24.

Le second chapitre traite les techniques d'analyse les plus utilisées en reconnaissance de la parole.

La mise en oeuvre sur le TMS 320 10 de l'analyse par prédiction linéaire, et de la transformée de fourier rapide, fait l'objet du troisième chapitre.

On trouvera enfin, dans le dernier chapitre, des recommandations pour la concrétisation de ce travail en un système complet de reconnaissance de la parole à base du TMS 320 10.



# CHAPITRE I

## ETUDE DU T M S 320

### A / EXPOSE DES CARACTERISTIQUES

- I-1 - Description
- I-2 - Architecture
- I-3 - Eléments constituant le Hardware
- I-4 - Instructions
- I-5 - Modes d'adressage
- I-6 - Interfaçage et contrôle
- I-7 - L'assembleur
- I-8 - Systèmes et logiciels de développement

### B / SIMULATION

- I-1 - Mise en oeuvre de la simulation sur le microordinateur OLIVETTI M 24
- I-2 - Commandes du simulateur
- I-3 - Chargement des fichiers
- I-4 - Chargement de la mémoire de données
- I-5 - Simulateur des fichiers journaux

A/ EXPOSE DES CARACTERISTIQUES

I-I- DESCRIPTION :

La famille TMS 320 est la première version MOS des microcalculateurs basée sur une architecture parallèle 16/32 bits , elle permet l'exécution de cinq ( 5 ) millions d'instructions par seconde.

Le TMS 320 IO fût le premier processeur numérique du signal 16/32 bits de cette famille , taillé pour réaliser des traitements rapides; une puissance remarquable et une souplesse lui ont donné la capacité de performer de multiples fonctions , souvent demandées pour une simple application .

Ce processeur couvre un champ très vaste d'applications , notamment le traitement du signal ( filtrage numérique, transformée de Fourier rapide corrélation, fenêtrage, etc ... ), le traitement de la parole ( analyse, synthèse, reconnaissance, vocodeurs, etc ... ), l'instrumentation, le traitement numérique, le contrôle haute vitesse, les télécommunications et le traitement de l'image .

Les principales caractéristiques de cette famille sont :

- Temps de cycle d'une instruction de 200 ns ,
- Mémoire RAM intégrée de 288 octets ( 144 mots ) ,
- Multiplication 16 par 16 bits en 200 ns ,
- Accumulateur et unité arithmétique et logique sur 32 bits ,
- Deux ( 02 ) décaleurs à gauche ,
- Huit ( 08 ) voies d'entrées et huit ( 08 ) voies de sortie ,
- Arithmétique fixe signée en complément à deux ,
- Technologie N-MOS ( 2,7 microns ) ,
- Alimentation en monotention ( 05 V ) ,
- Boitier DIP de 40 broches ,
- Dissipation typique de 950 mW ,
- Fréquence d'horloge variant de 6,7 MHz à 20 MHz ,

Le premier membre de cette famille se présente sous deux ( 02 ) versions : Le TMS 320 IO et le TMS 320 M IO , ces deux processeurs sont identiques , à la seule exception que le TMS 320 M IO utilise une mémoire externe ,



et une mémoire interne , et le TMS 320 IO une mémoire externe uniquement .  
 Le schéma fonctionnel de ce premier membre est donné par les figures I et 2 .

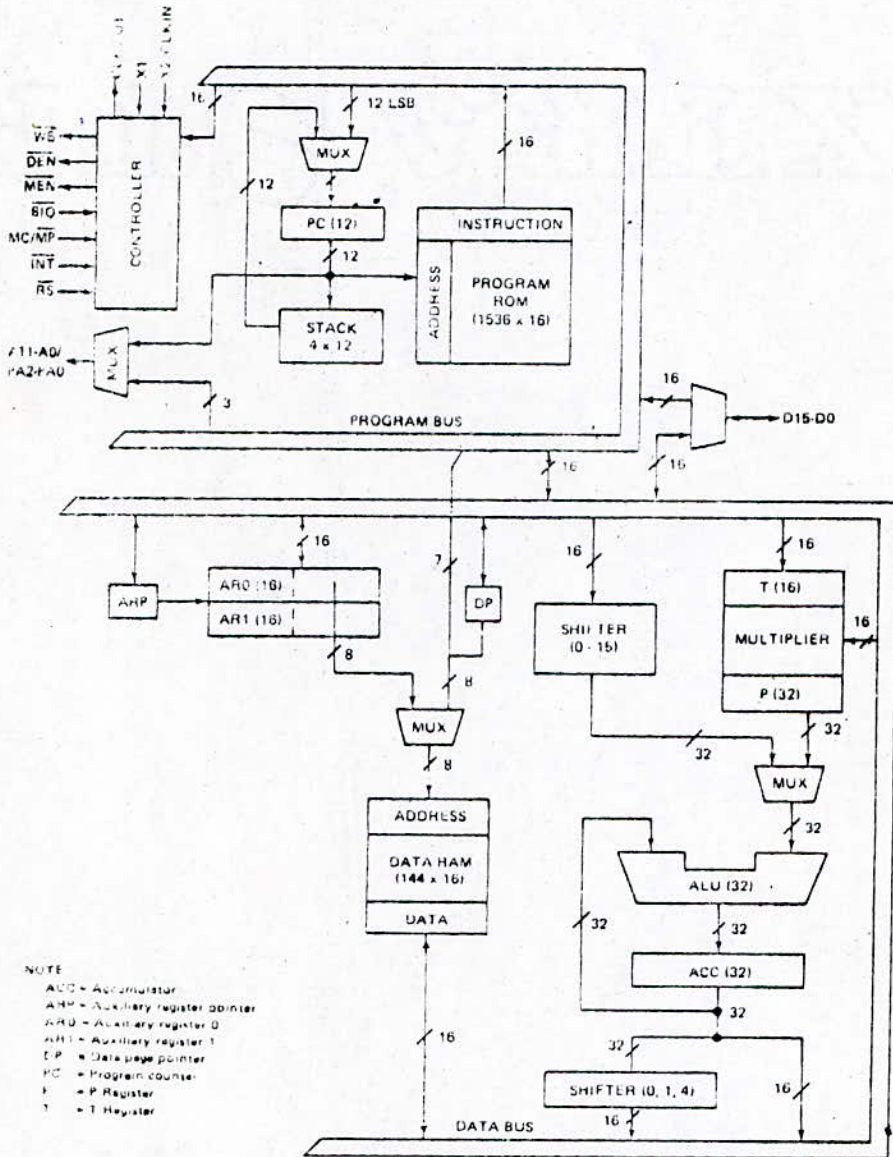


FIGURE 2 - BLOCK DIAGRAM OF TMS320M10

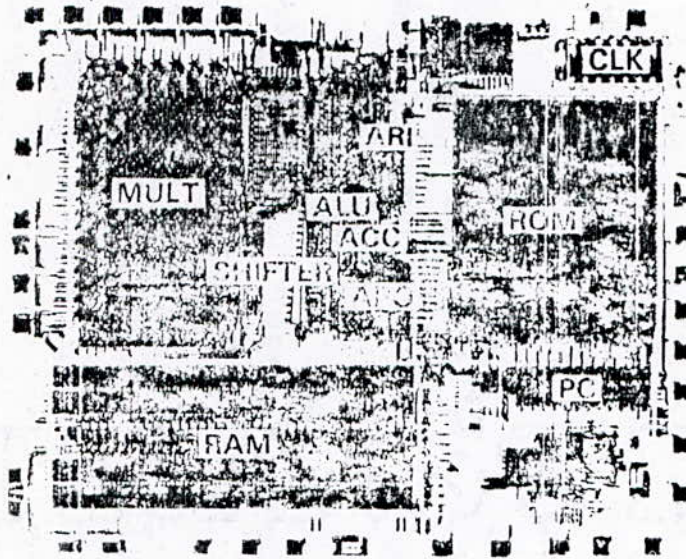


Figure ( I ) - TMS 320 IO

I-2- ARCHITECTURE :

Cette famille utilise une architecture dite de " HARVARD " modifiée , cette modification lui a donnée l'avantage de pouvoir lire des coefficients stockés en mémoire programme ( ROM ) pour les transférer dans la mémoire des données ( RAM ) , et aussi la séparation des bus de données et de programme , ce qui recouvre totalement le temps de l'acquisition et de l'exécution d'une instruction .



Définition des broches :

- Voir table I ci-jointe , et figure(3).

- Table I : TMS 320 IO Pin definitions

SIGNAL	I/O	DEFINITION
VCC,VSS	IN	Power and ground
XI	IN	Crystal input
X2/CLKIN	IN	Crystal input or external clock input
CLKOUT	OUT	System clock output, I/4 crystal/CLKIN frequency
WE	OUT	Write enable indicates valid data on DI5-D0.
DEN	OUT	Data enable indicates the processor accepting input data on DI5-D0.
MEN	OUT	Memory enable indicates that DI5-D0 will accept external memory instruction .
RS	IN	Reset used to initialize the device
INT	IN	Interrupt
BIO	IN	External polling input for bit test and jump operations .
MC/MP	IN	Memory mode select pin . High selects microcomputer mode . Low selects micro-processor mode . ( See section, Program Memory and Memory Expansion ) .
DI5/D0	I/O	I6 bit data bus
A11-A0	OUT	External address bus . I/O port address multiplexed
PA2-PA0		Over PA2-PA0

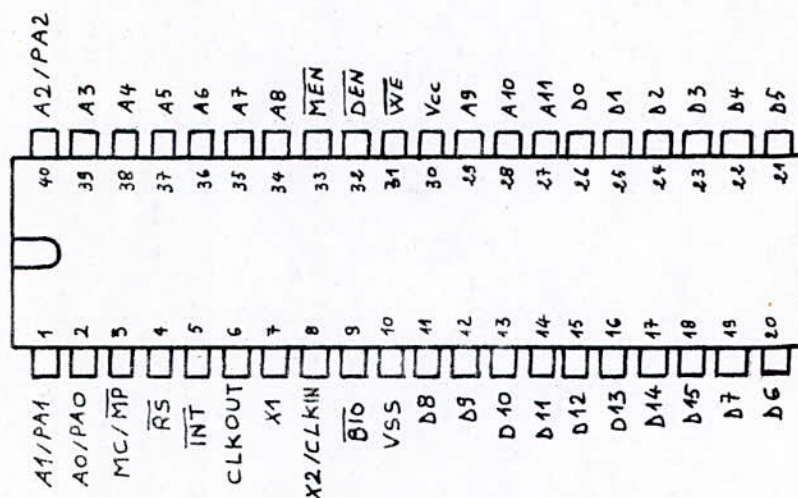


Figure ( 3 ) - Broches du TMS 320 IO

I-3- ELEMENTS CONSTITUANT LE HARDWARE :

Le T M S 320 possède quatre (04) éléments arithmétiques de base qui sont : l'unité arithmétique et logique ( ALU ) , l'accumulateur , le multiplieur et le décaleur .

1°)- L'unité arithmétique et logique ( ALU ) :

L'ALU manipule les données sur des mots de 32 bits . En plus des opérations classiques , elle effectue aussi les opérations logiques entre les 16 bits les moins significatifs de l'accumulateur et la valeur de la mémoire des données .

2°)- L'accumulateur :

Il opère également sur des mots de 32 bits . il est séparé en deux (02) parties , une partie supérieure réservée aux 16 bits de poids le plus fort et une partie inférieure pour les 16 bits de poids le plus faible . Il détient aussi l'adresse de branchement de la mémoire programme durant les opérations de branchement et contient aussi le mode " OVERFLOW " .

3°)- Le multiplieur :

La multiplication est périmentée à l'aide d'un multiplieur cablé ( 16 par 16 bits ) en complément à deux . Elle utilise deux (02) registres pour le multiplicande et le résultat du produit , le multiplieur est un mot de 16 bits de la RAM de données , ou une valeur de 13 bits d'un mot d'instruction en mode immédiat .

4°)- Le décaleur :

Deux (02) décaleurs à gauche sont périmentés par le T M S 320 :

- Un décaleur de 0 à 15 positions , périment de manipuler la donnée avant de la stocker en mémoire .
- Un autre décaleur de 0,1 ou 04 positions , périment le décalage des 16 bits de poids le plus fort de l'accumulateur avant



rangement de la donnée en RAM .

Les autres éléments sont les suivants :

5°)- Mémoire de programme et extension :

Le T M S 320 M IO est équipé d'une mémoire programme ( ROM ) interne de 1536 mots extensible à l'aide d'une mémoire ( ROM ) externe de 2560 mots .

Le T M S 320 M IO peut fonctionner sous deux (02) modes définis par l'état de la broche MC / MP .

- L'état MC désigne le mode microcalculateur , dans ce mode les instructions adressées de 0 à 1535 sont dans la mémoire interne et celles qui ont pour adresses de 1536 à 4095 sont dans la ROM externe , voir figure ( 4 ) .

- L'état MP désigne le mode microprocesseur , dans ce mode les instructions adressées de 0 à 4095 sont toutes dans la ROM externe .

Le T M S 320 IO est identique au T M S 320 M IO à l'exception que le T M S 320 IO opère en mode microprocesseur ( MP ) uniquement .

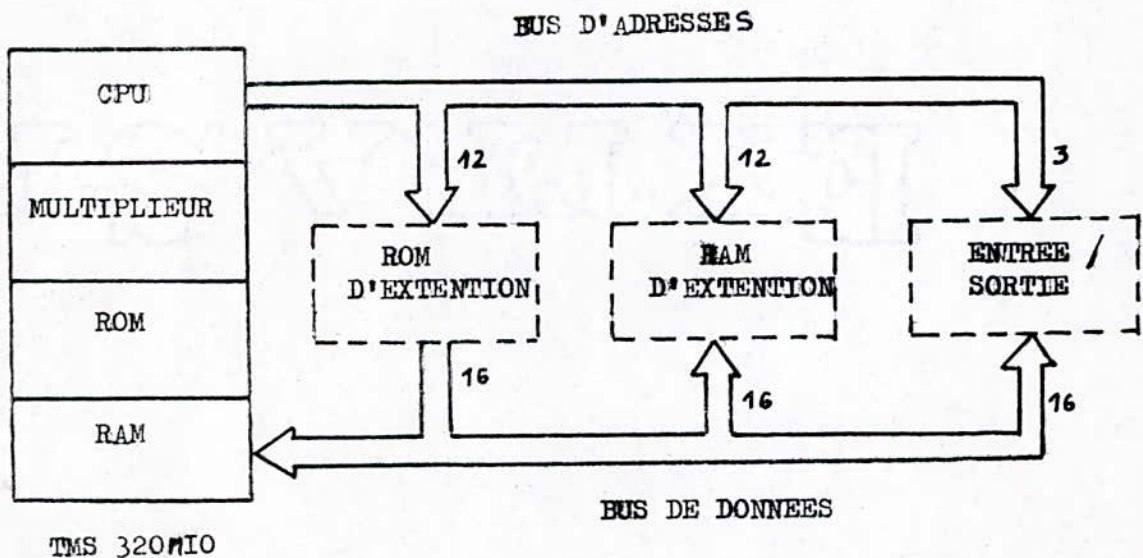


Figure ( 4 ) - Extension de la mémoire programme

L'habilité d'utiliser une mémoire externe fournit les avantages suivants :

- Facilité de manipulation
- Exécution à partir des RAM externes
- Facilité de codage

6°)- Mémoire de données :

La mémoire de données est constituée de 144 mots , elle est organisée en deux (02) pages , la page 0 et la page I . Son adressage se fait selon deux (02) modes : le mode direct ou le mode indirect .

Le mode direct permet l'adressage d'une seule page suivant qu'on sélectionne l'une ou l'autre .

Quant au mode indirect , il couvre l'adressage de toute la mémoire et se fait à l'aide de l'un des deux (02) registres auxiliaires ARI .

7°)- Compteur programme ( PC ) :

C'est un registre de 12 bits contenant l'adresse courante de la mémoire programme .

8°)- Pile :

Elle est composée de quatre (04) registres de 12 bits permettant la sauvegarde du contenu du compteur programme durant un branchement vers un sous-programme ou une interruption . Elle sert aussi à la lecture / écriture en mémoire externe .

9°)- Pointeur de page de la mémoire de données ( DP ) :

Il est formé d'un seul bit qui sélectionne la page de la RAM de données . La première page contient 128 mots et la seconde 16 mots seulement .



I0°)- Registres auxilliaires 0 et I ( ARI ) :

Ils sont composés de 16 bits chaoun , les huit (08) bits les moins significatifs sont utilisés pour l'adressage indirect de la mémoire de données ; les neuf (09) bits les moins significatifs peuvent être aussi considérés comme des compteurs bidirectionnels pour le controle d'une boucle avec auto incrémentation ou auto décrémentation , ces registres peuvent être aussi utilisés pour la sauvegarde temporaire des données .

II°)- Pointeur de registre auxilliaire ( ARP ) :

Il est formé d'un seul bit qui sélectionne le registre auxilliaire courant .

I2°)- Registre T :

C'est un registre de 16 bits qui contient le multiplicande dans une opération de multiplication .

I3°)- Registre P :

C'est un registre de 32 bits qui contient le résultat de la multiplication .

I4°)- Indicateur d'intérruption ( INTF ) :

IL contient un seul bit , utilisé pour indiquer une intérruption , il est automatiquement mis à zéro dés que l'intérruption est prise en considération .

I5°)- Indicateur de mode d'intérruption ( INTM ) :

Il contient un seul bit , utilisé pour masquer l'indicateur de l'intérruption . Une fois l'intérruption est prise en considération , ce bit est mis à 1 par l'instruction DINT , ceci bloque toutes les autres intérruptions qui viennent après .





I-4- INSTRUCTIONS :

Le T M S 320 possède un jeu de 60 instructions dont la majorité sont opérées en un mot et un cycle seulement .

On peut les classer selon les catégories suivantes :

- Instructions de l'accumulateur :

Elles permettent l'addition , la soustraction , le chargement et le stockage de l'accumulateur .

- Instructions des registres auxiliaires et de la page de données :

Elles permettent le chargement , le stockage , la modification et la comparaison des registres ARI et ARP .

- Instructions du registre T , du registre P et de la multiplication :

Elles permettent l'exécution de la multiplication .

- Instructions de controle :

Elles affectent le mode de dépassement , les interruptions et stockent certains registres qui ne peuvent être stockés par d'autres instructions ( exp : SST , LST ) .

- Instructions de branchement :

Il existe une grande variété d'instructions de branchement qui permettent de tester les conditions suivantes :

- Dépassement.
- ↖ Niveau bas sur la broche BIO.
- Contenu de l'accumulateur , inférieur, égal ou supérieur à zéro.
- Partie non nulle du registre auxiliaire ARI;

- Opérations booléenne :

Elles performent les opérations logiques entre l'accumulateur et la mémoire de données .

- Opérations d'E/S et de mémoire de données :

Elles permettent l'entrée / sortie des données vers les périphériques et le transfert de données entre la mémoire programme et la mémoire de données .

La table -I- donne les différents instructions du T M S 3204 , le nombre de cycles correspondant ainsi que le code opération (voir Annexe) .



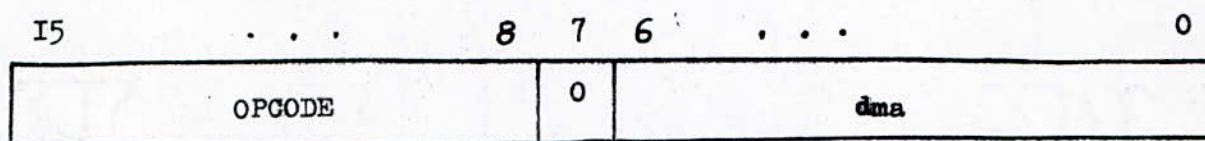
I - 5-MODES D'ADRESSAGE :

Trois modes d'adressage sont utilisés par le T M S 320 IO :

I-5-I - Adressage direct :

Dans ce mode d'adressage , sept (07) bits du mot d'instruction assemblés avec le pointeur de page de données forment l'adresse mémoire de données .

La description de ce mode est :



Un zéro "0" sur le bit sept (07) définit le mode d'adressage direct .  
Les bits de 0 à 6 contiennent les adresses mémoire .  
La zone de 0 au 7ème bit de l'adresse mémoire peut adresser jusqu'à  
I28 mots de la mémoire de données .

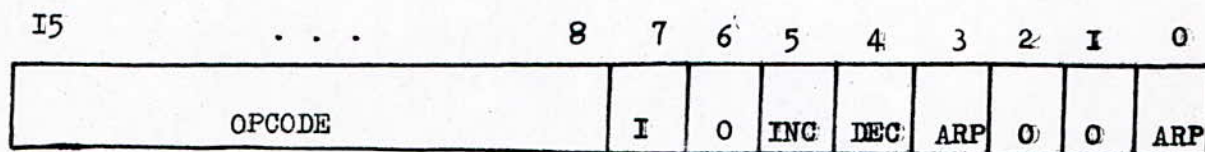
L'utilisation du pointeur de page de mémoire de données permet  
l'adressage de tous les I44 mots de la mémoire de données , soit  
donc ( I28 + I6 ) mots .

On peut adresser toutes les instructions avec le mode direct  
à l'exception des instructions qui s'adressent uniquement avec  
le mode immédiat . ( Voir mnémonique )

I-5-2 - Adressage indirect :

Dans l'adressage indirect , les huit (08) bits les moins significatifs de chacun des deux registres auxilliaires ARO et ARI forment l'adresse mémoire de données . Le pointeur de registre auxilliaire ( ARP ) sélectionne l'un des deux registres ARI , ces derniers peuvent être incrémentés et décrémentés automatiquement en parallèle avec l'exécution de l'instruction adressée en mode indirect .

La description de ce mode est :



Un "I" logique sur le bit 7 définit l'adressage en mode indirect .

Le code opération est contenu dans les bits 8 à I5 .

Les bits de 0 à 6 controlent l'adressage indirect .

Les bits de 0 à 3 controlent le pointeur de registres auxilliaires ( ARP ) .

Un "I" logique sur le bit 0 signifie que l'adresse mémoire est contenue dans le registre auxilliaire ARI , et un "O" logique sur ce bit signifie que l'adresse mémoire est contenue dans le registre auxilliaire ARO .

Si le bit 3 est à l'état logique "O" , le contenu du bit 0 est chargé dans l'ARP après exécution de l'instruction en cours .



Si le bit 3 est l'état logique "I", le contenu de l'ARP reste inchangé .

Les bits 4 et 5 contrôlent les registres auxiliaires ;  
Si le bit 5 est à l'état logique "I", l'ARP définit le registre auxiliaire qui va être incrémenté après exécution .

Si le bit 4 est à l'état logique "I", l'ARP définit le registre auxiliaire qui va être décrémenté après exécution .

Les bits 6 , 2 et 1 sont toujours mis à l'état logique "0" .

### I-5-3 - Adressage immédiat :

Le T M S 320 IO contient cinq (05) instructions adressées en mode immédiat qui sont : LDPK , LARK , MPYX , LACK , LARP .  
Dans ces instructions l'opérande est contenue dans le mot d'instruction .

### I-6 - INTERFACAGE ET CONTROLE :

#### I-6-I - Entrées / Sorties :

Les dispositifs d'interfaçage vers les périphériques utilisent 128 bits d'entrées et 128 bits de sorties constitués de huit (08) ports d'entrées de 16 bits , multipléxés également .  
( Voir figure (5) ) .

Le T M S 320 IO possède un bus d'adresse extérieur de 12 lignes parallèles et un bus de données extérieur de 16 lignes parallèles .  
Ce dernier est utilisé aussi pour performer des fonctions d'entrées / sorties à la vitesse de 40 millions de bits par seconde .

Les entrées / sorties sont séparées de la mémoire centrale et permettent d'adresser directement jusqu'à huit (08) périphériques .

Deux instructions , IN et OUT , entraînent l'entrée et la sortie des données vers et depuis le T M S 320 IO à travers le bus de données . Ces instructions contiennent un port d'adresse de 3 bits lequel est multipléxé sur les trois (03) lignes les





moins significatives ( A2 / PA2 - A0 / PA0 ) de l'adresse , le reste des lignes d'adresses sont cependant maintenues à l'état logique "0" .

Les entrées ou les sorties sont distinguées par les broches DEN et WE .

L'exécution de l'instruction IN génère un créneau sur la broche DEN qui fait entrer les données dans la RAM à travers le bus de données . L'exécution de l'instruction " OUT " fait sortir les données de la RAM vers le bus de données en générant un créneau sur la broche WE .

En plus , deux (02) instructions , TBLR ( table read ) et TBLW ( table write ) , permettent un transfert entre les mémoires de données et de programme . TBLR lit un mot de la mémoire programme et le transfère vers la RAM de données . TBLW copie un mot de la RAM de données dans la mémoire externe de programme . Dans ces deux (02) instructions , l'adresse de la mémoire de données est l'opérande de l'instruction , et l'adresse de la mémoire programme est contenue dans l'accumulateur .

#### I-6-2 - Contrôle de programme :

En mode microcalculateur , le T M S 320 IO peut accéder à 2560 mots de la mémoire programme externe et à 1536 mots de la mémoire interne . Pour faciliter cette habilité , les sorties du compteur programme sont liées à travers un buffer , aux broches AII - A0 , un créneau de sortie ( MEN ) est généré pour chaque cycle machine afin d'accéder à la mémoire externe , sauf que lorsque les instructions IN , OUT ou TBLW sont en cours d'exécution .

Notons que les données de la mémoire externe sont transférées vers le T M S 320 IO par le bus de données DI5 - DO et le temps maximum d'accès à la mémoire externe est de 100 ns .

#### I-6-3 - Interruptions :

Les interruptions sont gérées avec sauvegarde du contexte . Un front descendant sur la broche INT génère une interruption et met à "I" l'indicateur d'interruption INTF .

Quand l'interruption est prise en considération le T M S 320 IO incrémente le PC dans la pile et se branche à la position 2 de celle-ci .

Les positions 0 et I sont réservées pour la remise à zéro ( RESET ). Le T M S 320 IO possède un bit de mode d'interruption ( INTM ) qui est mis à " I " par l'instruction DINT et remis à zéro par l'instruction EINT , quand ce bit est à l'état " I " , les interruptions suivantes sont inhibées par le T M S 320 IO .

Une fois l'interruption est prise en considération , l'indicateur d'interruption ( INTF ) est mis automatiquement à zéro et le bit du mode d'interruption à " I " .

L'instruction EINT permet un stockage et une reprise de tous les registres excepté le registre P .

L'entrée BIO permet aussi une synchronisation logicielle du processeur pour l'attente d'un événement .

Notons enfin qu'avant qu'une interruption ne soit gérée , le contenu du registre P sera accumulé et l'instruction en cours achevée .

#### I-7     L'ASSEMBLEUR :

Le programme en langage assembleur , codé par le programmeur , est appelé programme source . Avant qu'il ne soit exécuté par le calculateur ; ce programme source doit être traité par le programme macro-assembleur pour obtenir un programme en langage machine afin qu'il puisse être exécuté par le simulateur . Ce traitement est appelé assemblage , il consiste à assembler les valeurs binaires qui correspondent au code opération du mnémorique , avec l'information de l'adresse binaire pour former l'instruction en langage machine . [11]

Les directives de l'assembleur contrôlent le procédé qui permet de faire un programme en langage machine à partir du programme en langage assembleur . Parmi ces directives , ils existent celles qui affectent le compteur position , la sortie



de l'assembleur , l'initialisation des constantes et celles qui permettent la liaison entre programmes .

L'assembleur traite le code source en deux étapes ; dans la première étape il maintient le compteur position qui définit les adresses de la mémoire programme affectées aux mots résultants du code objet , il construit une table de symboles et produit une copie du code source pour le traitement de la seconde étape . Dans cette deuxième étape , il lit la copie de la source et assemble le code objet en utilisant les codes opérations et la table des symboles produite durant la première étape .

Les caractères acceptés par l'assembleur du T M S 320 IO sont des caractères en code ASCII et en code HOLLERITH .

Ils existent cependant cinq (05) types de constantes reconnaissables par l'assembleur , chacune d'elle est maintenue intérieurement comme une quantité de 16 bits . Ces constantes sont les suivantes :

- Constante entière décimale :

Elle est écrite comme une suite de digits décimaux . La plage des valeurs des constantes décimales entière est comprise entre ( - 32768 ) et ( + 65535 ) .

- Constante entière binaire :

Elle est écrite au maximum sur une suite de 16 digits binaires ( 0 / 1 ) précédée par le point d'interrogation " ? " .

- Constante entière hexadécimale :

Elle est écrite au maximum sur une suite de 4 digits hexadécimaux ( 0 à F ) précédée par le signe "> " .

- Constante de caractères :

Elle est écrite en 1 ou 2 caractères seulement , mise entre cotes .

Les caractères sont représentés intérieurement par huit (08) bits en code ASCII .

- Constante de temps d'assemblage :

C'est un symbole donnant une valeur par la directive EQU .  
La valeur de ce symbole est déterminée au temps de l'assemblage pour être absolue ou bien transférée selon l'expression de transfert .

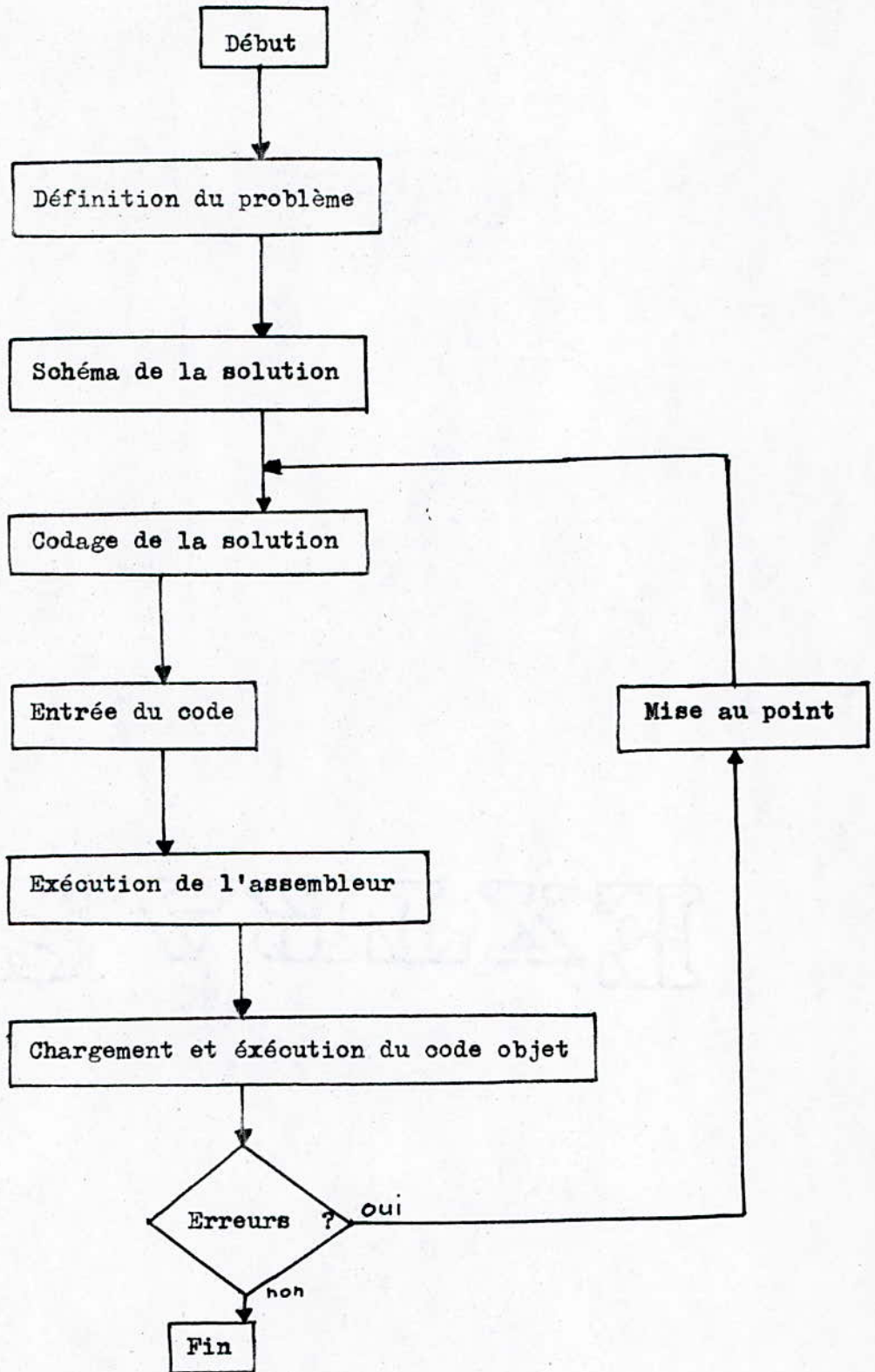
Procédé de développement d'une carte :

Pour illustrer la place du langage assembleur dans le développement des programmes , on considère les étapes suivantes ( voir figure ( 6 ) ) :

- Définition du problème .
- Schéma de la solution du problème .
- Codage de la solution en écrivant les instructions en assembleur qui correspondent aux étapes du schéma de la solution .
- Préparation du programme source en écrivant les instructions .
- Exécution de l'assembleur afin d'assembler le code objet du langage machine correspondant au programme source :
- Mise au point de la résolution du code objet en chargeant , exécutant et en faisant les corrections conséquentes indiquées .
- Répéter les étapes 5 et 6 jusqu'à ce qu'aucune correction n'est demandée .



- Figure ( 6 ) : Organigramme définissant le procédé de développement .



I-8 - SYSTEMES ET LOGICIELS DE DEVELOPPEMENT :

XDS / 320 est une gamme complete d'outils de developpement pour la famille T M S 320 . Ces outils sont tout à fait independants du type de calculateur utilise , tant sur le plan materiel que logiciel . Ils peuvent être connectés à plusieurs calculateurs tels que le TI 990 , IBM , ou VAX / VMS .

La famille T M S 320 dispose de cinq (05) moyens de developpement : Une carte EVM 320 , un macro-assembleur / editeur de liens , un simulateur , et un emulateur . [12]

I-8-1 - Carte EVM 320 ( Evaluation modul ) :

C'est un outil permettant à l'utilisateur d'évaluer pour une première phase les performances dynamiques du T M S 320 , en vue d'une application .

La communication vers l'ordinateur principal , et vers plusieurs périphériques s'effectue par la carte EVM . deux ports EIA permettent à cette carte d'être connecter à l'ordinateur principal et au terminal , elle peut aussi être connectée à une imprimante sur un port , tandis que l'autre port est connecté au terminal ou à l'ordinateur principal .

I-8-2 - Le Macro-assembleur / Editeur de liens :

Le macro-assembleur traduit le langage assembleur en langage machine exécutable directement par le simulateur ou l'emulateur . L'assembleur permet au programmeur de travailler avec le mnémonique plutôt que les instructions machines hexadécimales , en donnant des références aux positions mémoires avec des adresses symboliques ; ceci permet à la réalisation du logiciel d'être plus efficace et sûre .



L'éditeur de liens permet à un programme d'être exécuté par des modules séparés , et assemblé par la suite pour former un programme complet , cela permet l'utilisation des mêmes modules pour différents problèmes . L'éditeur de liens affecte des valeurs au code établi , en créant un fichier objet qui sera exécuté par le simulateur ou l'émulateur .

#### I-8-3 - Emulateur :

Il constitue un système autonome et étendu qui possède tous les moyens nécessaires pour la mise au point d'une application . Il est muni d'un moniteur de mise au point ayant un jeu de 65 commandes et un assembleur / assembleur inverse . Deux liaisons RS 232 lui permettent la connection vers un terminal , un calculateur , une imprimante ou un programmeur .

L'émulateur possède d'autres caractéristiques qui sont :

- Support logiciel de macro-assembleur / éditeur de liens sur un calculateur externe .
- Dix (10) points d'arrêts logiciels avec toutes les commandes nécessaires de positionnement , de visualisation et d'effacement .
- Deux (02) points d'arrêts matériels dont l'un est sur l'accès mémoire et l'autre sur les entrées / sorties .
- Opération en mode multiprocesseur ; possibilité de connecter jusqu'à neuf (09) émulateurs en série .

#### I-8-4 - Simulateur :

C'est un programme logiciel permettant de simuler les opérations du T M S 320 et de vérifier grâce à un mode de mise au point , la bonne exécution d'un programme .

Le simulateur utilise le code objet du T M S 320 IO PRODUIT par le macro-assembleur / éditeur de liens . Il est en général disponible sur des rubans magnétiques pour les systèmes d'exploitation du VAX / VMS et sur des disquettes pour les systèmes d'exploitation du TI PC / MC - DOS et IBM PC / PC - DOS . Il permet l'exécution des programmes à une vitesse de 4000 instructions par seconde pour le VAX / VMS et de 400 instructions par seconde pour les systèmes TI PC / MC - DOS et IBM PC / PC - DOS , et requière 256 K octet de mémoire .

Afin de simuler les dispositifs d'entrées / sorties qui seront connectés au processeur , les fichiers d'entrée et de sortie peuvent être associés avec le port d'adresses des instructions d'E/S .

Pour simuler une interruption du signal , l'indicateur d'interruption peut être activé périodiquement dont l'intervalle de temps est définit par l'utilisateur . Avant l'initialisation de l'exécution du programme , les points d'arrêts peuvent être définis .

Durant l'exécution du programme , les registres internes et les mémoires de simulation sont modifiés selon les instructions exécutées . Dès que l'exécution du programme est suspendue , les registres internes et les deux (02) mémoires , programme et données , peuvent être inspectées et / ou modifiées .



B/ SIMULATION

INTRODUCTION :

Nous disposons d'une disquette contenant trois programmes logiciels principaux exécutables : le simulateur SIM . EXE le macroassembleur XASM3 . EXE et l'éditeur de liens LINKER . EXE . Ces trois programmes nous permettent l'exécution de tous les programmes écrits en langage assembleur propre au TMS 320 IO .

I-I -MISE EN OEUVRE DE LA SIMULATION SUR LE MICRO-ORDINATEUR  
OLIVETTI M 24 :

Pour la mise en oeuvre de cette simulation , un chargement au préalable des trois programmes de la disquette dans le disque dur est préférable . ceci se fait comme suit :

```
C > COPY   A : XASM3 . EXE   C : XASM3 . EXE / V   <CR>
C > COPY   A : SIM . EXE   C : SIM . EXE / V   <CR>
C > COPY   A : LINKER . EXE C : SIM . EXE / V   <CR>
```

tels que :

<u>XASM3 . EXE</u>	représente le nom du fichier du macroassembleur exécutable .
<u>SIM . EXE</u>	représente le nom du fichier du simulateur exécutable .
<u>LINKER . EXE</u>	représente le nom du fichier de l'éditeur de liens exécutable .
<u>/ V</u>	pour vérifier le bon chargement .
<u>&lt;CR&gt;</u>	commande RETURN du micro ordinateur .

Après avoir effectué le chargement , les étapes à suivre pour l'exécution d'un programme sont les suivantes:

I-I-1 - Ecriture du programme en langage assembleur dans un fichier  
créé par l'instruction EDIT :

C > EDIT [ non du fichier ] [ . ASM ] < CR >

Note : Le nom du fichier doit être écrit avec l'extension [ . ASM ]  
qui signifie langage assembleur .

I-I-2 - Exécution du macroassembleur :

Ce logiciel s'exécute comme suit :

C > XASM3 < CR >

Le macroassembleur demande ensuite les noms des fichiers source ,  
listing et code objet à créer :

XASM3 [ source file . ASM ] : < nom du fichier > . ASM

XASM3 [ listing file . LST ] : < nom du fichier > . LST

XASM3 [ objet file . MPO ] : < nom du fichier > . MPO

Notons que ASM , LST et MPO signifient respectivement  
assembleur , listing et code objet .

La création de ces fichiers se fait automatiquement dans le  
disque dur où ils seront sauvegardés .

I-I-3 - Exécution du simulateur :

Pour exécuter le simulateur du TMS 320 IO , on utilise  
la commande :

C > SIM < CR >

Le système doit maintenant exécuter le simulateur , toutes



les positions mémoires de programme et de données sont ainsi initialisées à zéro .

Le simulateur demande ensuite le mode de traitement qui sera simulé , mode microprocesseur ( MP ) ou mode microcalculateur ( MC ).

Dans le cas du TMS 320 IO , on sélectionne le mode microprocesseur ( MP ) en faisant entrer un zéro ( 0 ) ou par la commande RETURN <CR> .

Le chargement de la mémoire de programme par le fichier écrit en code objet et le chargement de la mémoire de données , des registres internes ainsi que l'exécution , s'effectue à l'aide des commandes du simulateur .

#### I-2 - COMMANDES DU SIMULATEUR :

Les commandes du simulateur du TMS 320 IO exécutent les fonctions spécifiques du simulateur . Les cinq commandes principales sont les suivantes :

- DM : affichage du menu des commandes .
- BH : indique les commandes pour les points d'arrêts .
- MH : pour inspecter ou modifier les mémoires de programme et de données .
- RH : pour inspecter ou modifier les registres et les indicateurs ( d'interruption , overflow , ... )
- IOH : indique les commandes d'E/S .

#### Notes :

I - Les commandes doivent être entrées en majuscule , sinon un message indiquant une erreur aura lieu comme suit :

" INVALID COMMAND "

2 - Chaque commande du simulateur <sup>est</sup> exécutée à l'aide de la commande RETURN <CR> du micro ordinateur .

I.3 CHARGEMENT DES FICHIERS :

Les fichiers seront chargés dans le simulateur à l'aide de la commande L ( LOAD ) comme suit :

C > SIM < CR >

(C) Copyright Texas Instruments  
incorporated 1984

SIMULATION OF THE TMS 320 IO

VERSION # I.6

0 - MICROPROCESSOR MODE ( ADDR 0 - I535 , OFF CHIP )

I - MICROCALCULATEUR MODE ( ADDR 0 - I535 , ON CHIP )

0 < CR >

YOU ARE IN THE MICROPROCESSOR MODE ( ADDR 0 - I535 , OFF CHIP )

ENTER COMMAND ( HELP = <CR> )

L < CR >

ENTER NEW OBJECT FILE

[Nom du fichier] . MPO < CR >

\* \* \* \* \* LOADING PROGRAMME " NO\$IDT " \* \* \* \* \*

ENTER COMMAND ( HELP = <CR> )



ENTER COMMAND ( HELP = <CR> )

Le procédé de chargement de la ROM est le même que celui de la RAM seulement on doit faire entrer la commande ROM au lieu de RAM .

Note :

La commande Q peut aussi être utilisée pour quitter complètement le simulateur :

ENTER COMMAND ( HELP = <CR> ) :

Q    <CR>

Aussitôt que le fichier écrit en code objet sera chargé dans le simulateur , mettre un arrêt de contrôle en utilisant la commande BIAQ . Cette commande est utilisée pour arrêter l'exécution à la dernière instruction du programme , sans elle le simulateur continuera l'exécution jusqu'à la dernière case mémoire de programme . Après ceci on utilise la commande R ( RUN ) pour exécuter la simulation . [13]  
La procédure est la suivante :

ENTER COMMAND ( HELP = <CR> ) :

BIAQ    <CR>

BREAK ON INSTRUCTION ACQUISITION

ENTER THE ADDRESS ( IN HEX )

3    <CR>

ENTER COMMAND ( HELP = <CR> ) :

R    <CR>

I-4 - CHARGEMENT DE LA MEMOIRE DE DONNEES :

ENTER COMMAND ( HELP = <CR> )

RAM <CR>

ENTER STARTING ADDRESS ( IN HEX )

0 <CR> début de la position mémoire à charger en hexadécimal  
( 0 par exemple ) .

0 = 0 valeur courante contenue dans cette position .

7 <CR> changer cette valeur par (exemple:7) .

0 = 7 cette position mémoire contient maintenant la valeur 7 .

+ <CR> passage à la position suivante .

I = 0 la position I contient la valeur 0

5 <CR> modifier cette valeur par (exemple:5) .

I = 5 la position I contient maintenant la valeur 5 .

<CR> passage à la position suivante et ainsi de suite .

2 = 0

8 <CR>

2 = 8

<CR>

3 = 0

Q <CR> Fin de chargement .



L'exécution s'arrête quand le simulateur aurait exécuté la position ( exemple 3 ) de la mémoire de programme .

I-5 - SIMULATEUR DES FICHIERS JOURNAUX :

Les fichiers journaux peuvent être des outils puissants pour améliorer la qualité de la session de simulation . Ils maintiennent l'enregistrement de la session de simulation afin qu'il puisse être réexécuté durant une autre session . Ils réduisent cependant le temps pour recréer la session passée . Ils sont particulièrement utiles quand les mêmes traitements sont répétés plusieurs fois et ils peuvent être utilisés pour faire l'attribution des E / S , placer des séquences de contrôle , etc ... [13]

Création du fichier journal :

Le fichier journal est créé par la commande JF ( Select Journal File ) . Toutes les commandes qui suivent sa création seront stockées à l'intérieur jusqu'à l'introduction de la commande Q ( Quit ) .

Exemple :

ENTER COMMAND ( HELP = <CR> )

JF <CR>

A JOURNAL FILE NAME HAS NOT BEEN CREATED

ENTER FILE NAME

[Nom du fichier . Extension] <CR>

ENTER COMMAND ( HELP = <CR> )

CHAPITRE II

ETUDE DES METHODES D'ANALYSE DE LA PAROLE

- II-1 - Analyse cepstrale
- II-2 - Analyse par prédiction linéaire
- II-3 - Comparaison des deux méthodes d'analyse



## Introduction :

Le signal temporel de la parole est très chaotique et inexploitable puisque l'introduction des déphasages entre les composantes spectrales du signal n'affecte pas l'intelligibilité du son ( l'oreille est insensible aux variations de phase ) et son spectre correspondant , mais l'allure temporelle change , donc on utilise le traitement spectrale du signal de la parole .

L'analyse de la parole permet la diminution de redondance du signal vocal et assure l'extraction des paramètres pertinents de celui-ci . Le volume de mémoire nécessaire au traitement automatique de ce signal dépend du type d'analyseur choisi .

Avant l'application d'une méthode d'analyse , un prétraitement sur le signal de la parole est nécessaire , ce prétraitement consiste en une préaccentuation afin de rétablir ce signal tel qu'il était avant de déboucher des lèvres , et en un fenêtrage pour limiter l'amplitude des rebonds fréquentiels dus à la durée limitée des trames .

Les méthodes d'analyse les plus utilisées en vue de la reconnaissance de la parole sont la méthode d'analyse cepstrale et la méthode d'analyse par prédiction linéaire .

## II-I - ANALYSE CEPSTRALE :

### Introduction :

Une des approches fondamentales de la théorie acoustique est la représentation du signal de la parole comme étant la sortie d'un système linéaire dont les propriétés varient lentement avec le temps ( le conduit vocal ) , pour un petit segment du signal de parole , il peut être considéré comme étant généré par l'excitation d'un système linéaire invariant dans le temps .

La source d'excitation , qui peut être soit un train d'impulsions périodique ( vibration des cordes vocales pour les sons voisés ) ou un bruit aléatoire ( pour les sons non voisés ) , module le conduit vocal , il ya cependant combinaison par convolution de l'excitation et de la réponse impulsionnelle du système linéaire

invariant dans le temps .

Le problème de l'analyse de la parole peut donc être considéré comme un problème de séparation des composantes convoluées , qu'on appelle " déconvolution " , c'est à dire la séparation des spectres du signal et de la source d'excitation . Cette séparation est réalisée par des traitements homomorphiques dont le calcul cepstral est une illustration .

### II-I-I-Déconvolution :

L'intérêt de la déconvolution est d'obtenir le spectre du signal de parole émis , séparé de la source d'excitation qui introduit des ondulations sur le spectre caractéristique du son émis . [8]

Soient  $h(n)$  le signal issu de la source d'excitation et  $x(n)$  la fonction de transfert du conduit vocal indépendante de la première , ces deux ( 02 ) fonctions convoluent et donnent le signal sonore  $y(n)$  qui débouche de l'appareil phonatoire dont l'équation est :

$$y(n) = \sum_{k=-\infty}^{+\infty} h(n-k) \cdot x(k) = h(n) * x(n)$$

L'opération ( D ) de déconvolution donne :

$$\begin{aligned} D [ y(n) ] &= D [ h(n) * x(n) ] \\ &= D [ h(n) ] + D [ x(n) ] \\ &= h'(n) + x'(n) \\ &= y'(n) \end{aligned}$$

Où :  $y'(n)$  ,  $h'(n)$  et  $x'(n)$  représentent respectivement :  
 $D [ y(n) ]$  ,  $D [ h(n) ]$  et  $D [ x(n) ]$  .



On sait qu'un produit de convolution se transforme en une multiplication par la transformée en Z .

$$y(n) = h(n) * x(n) \implies Y(z) = H(z) \cdot X(z) .$$

Il suffit donc d'appliquer le logarithme sur la transformée en Z pour passer d'un produit à une somme , ainsi un produit de convolution de deux ( 02 ) signaux peut être transformé en une somme de ces mêmes signaux représentés dans un domaine particulier ( qu'éfrences ) où ils peuvent être séparables comme le montre la figure (I) . [10]

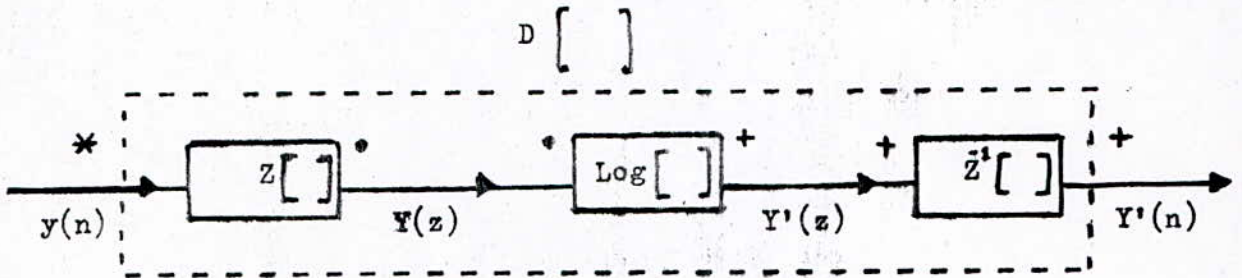


Figure ( 3 ) .  
Déconvolution homomorphique .

$$\begin{aligned} Y'(z) &= \text{Log} ( Y(z) ) = \text{Log} ( H(z) \cdot X(z) ) \\ &= \text{Log} ( H(z) ) + \text{Log} ( X(z) ) \\ &= H'(z) + X'(z) \end{aligned}$$

Remarque : Cette relation n'est pas valide en règle générale puisque la partie imaginaire du logarithme d'un nombre complexe est indéfinie .

$$Y'(z) = \text{Log} ( Y(z) ) = \text{Log} | Y(z) | + j \arg ( Y(z) )$$

II-I-2-Cepstre :

Le cepstre complexe est la transformée de Fourier inverse du logarithme du spectre du signal .

$$Y'(n) = \frac{1}{2\pi} \int_{-\pi}^{+\pi} Y'(e^{j\omega}) \cdot e^{j\omega n} d\omega . \quad (1)$$

Si on considère seulement la partie réelle , on obtient la relation du cepstre C(n) suivante :

$$C(n) = \frac{1}{2\pi} \int_{-\pi}^{+\pi} \text{Log} \left| Y(e^{j\omega}) \right| \cdot e^{j\omega n} d\omega . \quad (2)$$

$$\text{Puisque } C(n) = \frac{Y'(n) + Y'(-n)}{2}$$

donc le cepstre peut être calculé par la transformée en cosinus du logarithme du spectre complexe du signal :

$$C(n) = \frac{1}{2\pi} \int_{-\pi}^{+\pi} \text{Log} \left[ Y(e^{j\omega}) \right] \cdot \text{Cos}(\omega n) d\omega . \quad (3)$$

II-I-3-Propriétés des coefficients cepstraux :

La forme générale de Y(z) est :

$$Y(z) = \frac{A \cdot z^r \prod_{k=1}^{n_1} [1 - a(k) \cdot z^{-1}] \cdot \prod_{k=1}^{n_0} [1 - b(k) \cdot z]}{\prod_{k=1}^{n_1} [1 - c(k) \cdot z^{-1}] \cdot \prod_{k=1}^{n_0} [1 - d(k) \cdot z]}$$



où  $a(k)$  et  $c(k)$  sont respectivement les zéros et pôles intérieurs au cercle unité,  $b(k)$  et  $d(k)$  ceux extérieurs, et tous sont inférieurs à 1.

En posant  $Z = e^{j\omega}$  on peut tirer les valeurs des cepstres complexes puisque  $Y'(Z) = \text{Log}(Y(Z))$  et en négligeant  $Z^n$  car  $|Z| = 1$ .

$$Y'(n) = \text{Log } A \quad \text{Si } n=0$$

$$Y'(n) = \sum_{k=1}^{M_1} \frac{c(k)^n}{n} - \sum_{k=1}^{M_1} \frac{a(k)^n}{n} \quad \text{Si } n > 0$$

$$Y'(n) = \sum_{k=1}^{M_0} \frac{b(k)^{-n}}{n} - \sum_{k=1}^{N_0} \frac{d(k)^{-n}}{n} \quad \text{Si } n < 0$$

Si  $Y'(Z)$  a des pôles et des zéros seulement à l'intérieur du cercle unité, alors :

$$Y'(n) = 0 \quad \text{pour } n < 0.$$

De tels signaux sont dits à phase minimale, et le calcul du cepstre complexe revient à calculer le cepstre normal pour les signaux à phase minimale, donc les relations du cepstre sont :

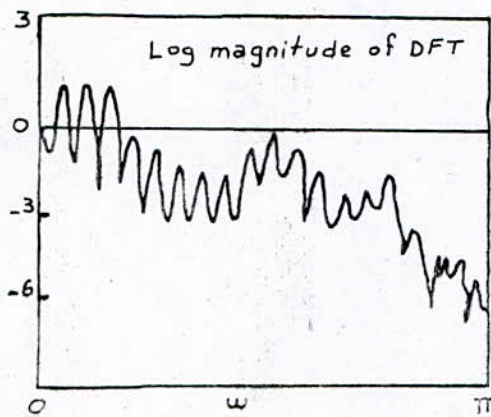
$$C(n) = 0 \quad \text{Si } n < 0$$

$$C(n) = Y'(n) \quad \text{Si } n = 0$$

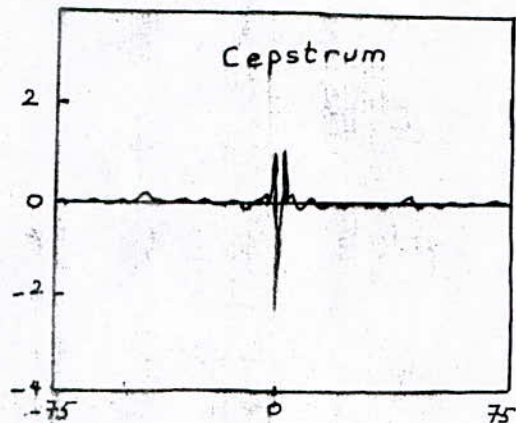
$$C(n) = \frac{Y'(n)}{2} \quad \text{Si } n > 0$$

Pour  $n=0$  le terme  $\text{Log } A$  définit l'énergie du spectre, et pour  $n \neq 0$  les coefficients cepstraux sont de même nature et dépendent de l'information sur les pôles et les zéros, ils sont donc indépendants de l'énergie, ce qui conduit à omettre le terme  $\text{Log } A$ . [6]

En pratique on utilise peu de coefficients cepstraux puisqu'ils décroissent en  $1/n$ , où  $(n)$  est leur rang .  
 La figure (2) ) représente le spectre d'un signal pour un son voisé , et son cepstre correspondant .



Spéctre voisé



Cepstre correspondant

Figure ( 2 )

Sur le spéctre apparaissent des ondulations rapides , dues au fondamental , superposées à des ondulations moins rapides dues aux formants , et sur le cepstre , les premiers coefficients cepstraux décrivent la forme des ondulations lentes , donc la nature du son émis . Le fondamental dont les ondulations sont plus rapides que ceux dues à la fonction de transfert du conduit vocal est rejeté loin dans le rang de ces coefficients .



II-I-4 - Echelle MEL :

Les études physiologiques et perséptives de l'oreille semblent indiquer quelle est sensible à une échelle presque logarithmique de la fréquence, cela veut dire que les informations pertinentes se répartissent dans des zones croissantes de façon exponentielle, en fonction de la hauteur de la fréquence. Pour favoriser ces zones qui ont les plus grandes densités d'informations, on utilise une échelle quasi-logarithmique appelée échelle " MEL " sur laquelle se fait le calcul cepstral, voir figure ( 3 ) ci-dessous :

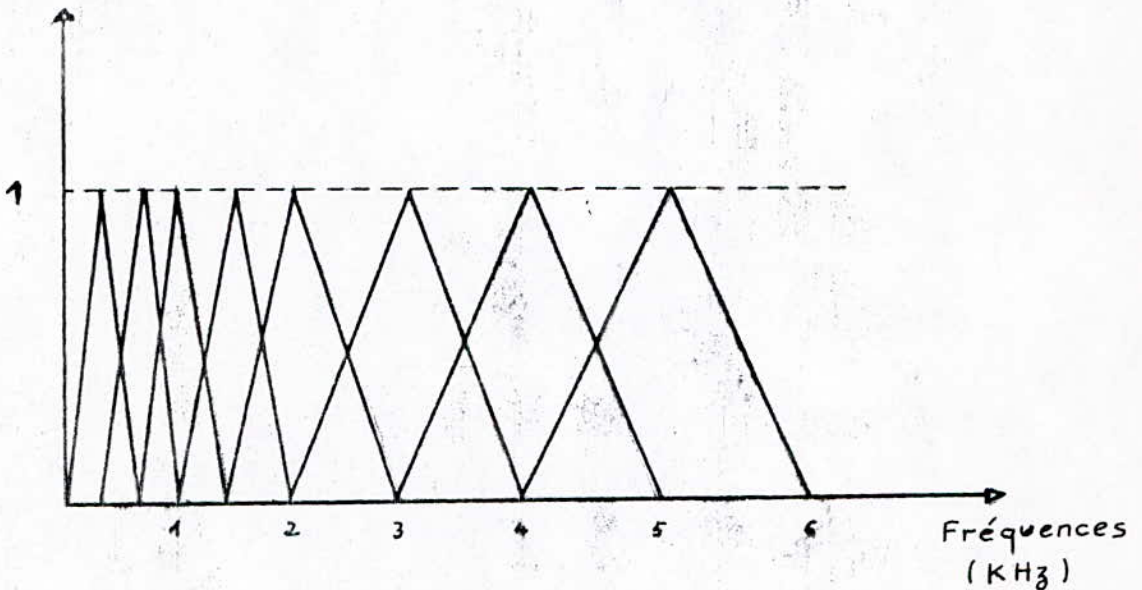


Figure ( 3 ) - Filtres MEL

Cette échelle est linéaire jusqu'à 1 KHz et logarithmique au delà, en général on utilise un nombre de filtres de l'ordre d'une dizaine, de largeurs uniformes, et de formes triangulaires.

Pour le premier KHz, ils sont décalés les uns des autres d'une moitié de la largeur des filtres, au delà de 1 KHz les décalages entre les filtres forment une suite géométrique de raison supérieur à 1 ( valeur typique 1,5 ). [ 2 ]

Sur cette échelle le cepstre s'écrit comme suit :

$$\Gamma_{FCC}(n) = \frac{1}{F} \sum_{k=1}^F \text{Log} \left[ E(k) \right] \cdot \text{Cos} \left[ n \cdot \left( \frac{k-1}{2} \right) \cdot \frac{2\pi}{F} \right]$$

où  $(n)$  est le rang du coefficient cepstral ,  
 $(k)$  le numéro du filtre ,  
 $E(k)$  l'énergie du filtre ,  
et  $(F)$  le nombre total des filtres .

## II-2 ANALYSE PAR PREDICTION LINEAIRE :

### Introduction :

La méthode d'analyse par prédiction linéaire est l'une des méthodes les plus puissantes d'analyse de la parole .  
Elle est fondée sur un modèle simple ( filtre numérique ~~récur~~ récursif ) de production de la parole constituant une bonne approximation du système phonatoire .

### II-2-I Idée de base :

L'idée de base de cette méthode repose sur le fait qu'un échantillon  $S(n)$  , de la parole peut être prédit approximativement à partir d'une combinaison linéaire des " p " échantillons le précédant immédiatement , compte tenu de l'excitation  $U(n)$  .

Les échantillons sont cependant pris sur une fenêtre temporelle de 10 à 20 ms du signal  $S(t)$  de la parole .  
La taille  $N$  de ces échantillons est généralement entre 100 et 250 .

Notons que cette méthode se base essentiellement sur deux ( 02 ) hypothèses :

- Les variations du conduit vocal peuvent être approchées par une succession de configurations stationnaires dont la durée est de l'ordre de 10 à 25 ms appelée " trame " .
- Pendant chaque trame , la source d'excitation est constante .



II-2-2 - Illustration de la méthode :

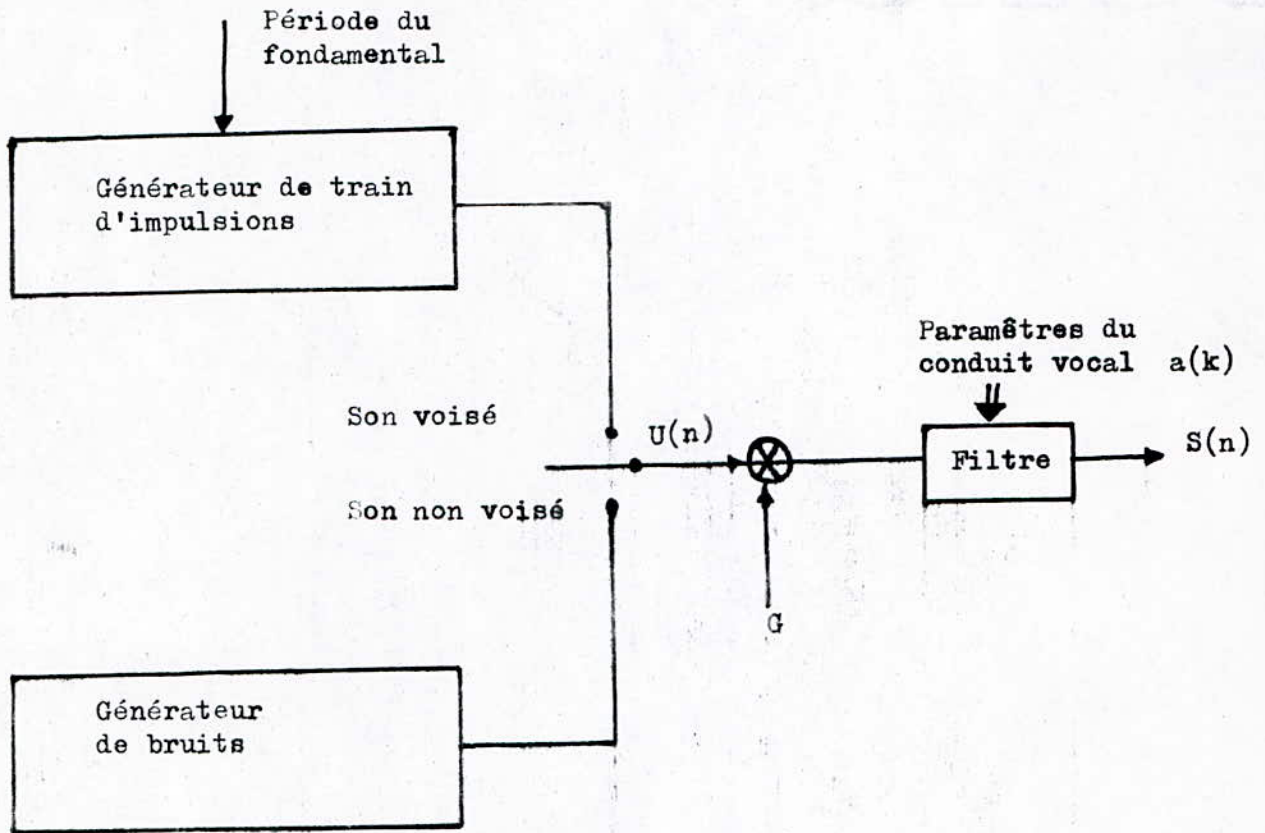


Fig 4 - Modèle de production de la parole -

La figure ci-dessus illustre un modèle de production de la parole pour chaque fenêtre de 10 à 20 ms du signal de la parole .

Soit :

$$S(n) = \sum_{k=1}^p a(k) S(n-k) + G \cdot U(n) \quad (1) \quad n \in [0, N-1]$$

- Où:
- G : le gain
  - U(n) : excitation du système
  - S(n) : échantillon de la parole
  - a(k) : paramètres du conduit vocal appelés " coefficients de prédiction linéaire " .

La valeur prédite de l'échantillon  $S(n)$  est :

$$\hat{S}(n) = \sum_{k=1}^p a(k) S(n-k) \quad n \in [0, N-1]$$

L'erreur de prédiction linéaire est par conséquent :

$$e(n) = S(n) - \hat{S}(n)$$

$$e(n) = S(n) - \sum_{k=1}^p a(k) S(n-k) = G \cdot U(n)$$

Le passage à la transformée en  $Z$  donne :

$$E(Z) = S(Z) - \sum_{k=1}^p a(k) Z^{-k} S(Z) = G \cdot U(Z)$$

$$E(Z) = S(Z) \left[ I - \sum_{k=1}^p a(k) Z^{-k} \right] = G \cdot U(Z)$$

On pose :

$$A(Z) = I - \sum_{k=1}^p a(k) \cdot Z^{-k} \quad \text{et} \quad H(Z) = \frac{G}{A(Z)}$$

d'où :

$$E(Z) = S(Z) \cdot A(Z)$$

$$S(Z) = \frac{G}{A(Z)} \cdot U(Z) = H(Z) \cdot U(Z)$$

Nous constatons que l'erreur de prédiction linéaire est la sortie d'un système ayant comme fonction de transfert  $A(Z)$  appelé filtre inverse, et  $S(Z)$  la sortie d'un filtre récursif ayant comme fonction de transfert  $H(Z)$  simulant le conduit vocal. De même nous remarquons que  $H(Z)$  possède que des pôles, ces pôles sont les coefficients  $a(k)$  de prédiction linéaire. Ces derniers nous renseignent donc le mieux possible sur le comportement du conduit vocal. [10]

En général l'ordre "  $p$  " de prédiction linéaire est de 12. Divers méthodes sont utilisées pour la détermination des coefficients  $a(k)$  de prédiction linéaire.



II-2-3 - Méthode d'autocorrélation :

Soit  $E_n$  l'erreur quadratique totale de prédiction linéaire :

$$E_n = \sum_{n=0}^{N-1+p} e^2(n) = \sum_{n=0}^{N-1+p} [S(n) - \hat{S}(n)]^2$$

$$E_n = \sum_{n=0}^{N-1+p} \left[ S(n) - \sum_{k=1}^p a(k) S(n-k) \right]^2$$

Pour une bonne estimation des échantillons  $\hat{S}(n)$ , l'erreur quadratique totale  $E_n$  doit être la plus petite possible. Il s'agit donc de trouver les valeurs optimales des coefficients  $a(k)$  qui minimisent le mieux possible cette erreur. Cependant on fait appel aux formules mathématiques des dérivées partielles :

$$\frac{\partial E_n}{\partial a(i)} = \sum_{n=0}^{N-1+p} a \left[ S(n) - \sum_{k=1}^p a(k) \cdot S(n-k) \right] \cdot S(n-i) = 0 \quad (1)$$

d'où :

$$\sum_{n=0}^{N-1+p} S(n-i) \cdot S(n) = \sum_{k=1}^p a(k) \sum_{n=0}^{N-1+p} S(n-i) \cdot S(n-k) \quad (2)$$

soit :

$$\phi(i, k) = \sum_{n=0}^{N-1+p} S(n-i) \cdot S(n-k) \quad (3) \quad \begin{matrix} 1 \leq i \leq p \\ 1 \leq k \leq p \end{matrix}$$

par changement de variable on obtient :

$$\phi(i, k) = \sum_{n=0}^{N-1-(i-k)} S(n) \cdot S(n+i-k) \quad \begin{matrix} 1 \leq i \leq p \\ 1 \leq k \leq p \end{matrix}$$

Les bornes supérieure et inférieure de la sommation sont limitées respectivement à  $[N - I + (i - k)]$  et zéro (0) car  $\phi(i, k)$  est nulle pour  $n \notin [0, N - I + (i - k)]$

La fonction d'autocorrélation  $R(k)$  est définie comme suit :

$$R(k) = \sum_{n=0}^{N-1-k} S(n) \cdot S(n+k)$$

$$R(k) = R(-k)$$

d'où :

$$\phi(i, k) = R(|i - k|)$$

l'équation (2) s'écrit donc :

$$\sum_{k=1}^p a(k) \cdot R(|i - k|) = R(i) \quad I \leq i \leq p$$

son écriture sous forme matricielle est la suivante :

$$\begin{bmatrix} R(0) & \dots & \dots & \dots & R(p-I) \\ \cdot & \cdot & \cdot & \cdot & \cdot \\ \cdot & & R(0) & & \cdot \\ \cdot & & & \cdot & \cdot \\ R(p-I) & \dots & \dots & \dots & R(0) \end{bmatrix} \begin{bmatrix} a(I) \\ \cdot \\ \cdot \\ \cdot \\ a(p) \end{bmatrix} = \begin{bmatrix} R(I) \\ \cdot \\ \cdot \\ \cdot \\ R(p) \end{bmatrix}$$

La matrice carré  $p \times p$  des valeurs d'autocorrélation est appelée matrice de Toeplitz, elle est symétrique et les éléments constituant sa diagonale sont tous égaux. [10]

II-2-4 Méthode de covariance :

La seconde méthode consistant de déterminer les coefficients  $a(k)$  de prédiction linéaire est la méthode de covariance. Cette méthode suppose que le signal est non stationnaire à l'intérieur de l'intervalle à analyser. Elle se base essentiellement sur les hypothèses suivantes :

- Le signal est défini pour "  $N + P$  " échantillons consécutifs avec  $N$  et  $P$  entiers.



- L'erreur quadratique totale est minimisée pour l'ensemble des " N " échantillons consécutifs .

Soit : 
$$E_n = \sum_{n=0}^{N-1} e^2(n)$$

L'équation (2) s'écrira donc comme suit :

$$\sum_{n=0}^{N-1} S(n-i) \cdot S(n) = \sum_{k=1}^p a(k) \sum_{n=0}^{N-1} S(n-i) \cdot S(n-k) \quad (4) \quad I \leq i \leq p$$

On pose :

$$\phi(i, k) = \sum_{n=0}^{N-1} S(n-i) \cdot S(n-k) = \phi(k, i) \quad (5) \quad I \leq i \leq p$$

Par substitution de l'équation (5) dans l'équation (4) on obtient :

$$\phi(i, 0) = \sum_{k=1}^p a_k \phi(i, k) \quad (6) \quad I \leq i \leq p$$

L'écriture de l'équation (6) sous forme matricielle est la suivante :

$$\begin{bmatrix} \phi(I, I) & \dots & \phi(I, p) \\ \vdots & \ddots & \vdots \\ \phi(p, I) & \dots & \phi(p, p) \end{bmatrix} \begin{bmatrix} a(I) \\ \vdots \\ a(p) \end{bmatrix} = \begin{bmatrix} \phi(I, 0) \\ \vdots \\ \phi(p, 0) \end{bmatrix}$$

On remarque que la matrice carré P x P composée des éléments  $\phi(i, k)$  est symétrique car :  $\phi(i, k) = \phi(k, i)$  .

II-2-5 - Calcul de Gain :

Le gain G du signal d'excitation caractérise l'énergie des échantillons prédits . Son calcul peut se faire à partir

de l'erreur  $e(n)$  de prédiction linéaire .

Soit :

$$e(n) = S(n) - \hat{S}(n) \quad n \in [0, N-1]$$

$$e(n) = S(n) - \sum_{k=1}^p a(k) \cdot S(n-k) = G \cdot U(n) \quad (7)$$

On remarque que le signal d'excitation  $U(n)$  est proportionnel au signal de l'erreur  $e(n)$  avec une constante de proportionnalité  $G$  .

En général , il est impossible de déduire directement à partir de cette relation la valeur du gain  $G$  . Pour cela on suppose que l'énergie du signal de l'erreur est égale à l'énergie du signal d'excitation .

Soit :

$$E_h = \sum_{n=0}^{N-1} e^2(n) = G^2 \sum_{n=0}^{N-1} U^2(n)$$

Pour les sons non voisés , l'excitation  $U(n)$  est assimilée à un bruit blanc , stationnaire , sa valeur est presque nulle .

Pour les sons voisés , l'excitation  $U(n)$  est assimilée à une impulsion unitaire  $S(n)$  tel que :

$$S(n) = \begin{cases} 1 & n = 0 \\ 0 & n \neq 0 \end{cases}$$

d'où :

$$E_h = \sum_{n=0}^{N-1} [h(n) - \hat{h}(n)]^2 = G^2 \sum S^2(n)$$

$h(n)$  étant la sortie du filtre récursif excité par l'impulsion  $S(n)$  et  $\hat{h}(n)$  sa valeur prédite .

$$E_h = \sum_{n=0}^{N-1} \left[ h(n) - \sum_{k=1}^p a(k) h(n-k) \right]^2$$

$$E_h = \sum_{n=0}^{N-1} h^2(n) - 2 \sum_{k=1}^p a(k) \sum_{n=0}^{N-1} h(n) h(n-k) + \sum_{k=1}^p a(k) \sum_{i=1}^p a(i) \sum_{n=0}^{N-1} h(n-k) \cdot h(n-i)$$



Le passage aux dérivées partielles  $\frac{\partial E_n}{\partial a(i)}$  donne :

$$\frac{\partial E_n}{\partial a(i)} = 2 \sum_{n=0}^{N-1} \left[ h(n) - \sum_{k=1}^p a(k) \cdot h(n-k) \right] \cdot h(n-i) = 0 \quad 1 \leq i \leq p$$

$$\sum_{n=0}^{N-1} h(n-i) h(n) = \sum_{k=1}^p a(k) \sum_{n=0}^{N-1} h(n-i) h(n-k) \quad 1 \leq i \leq p$$

Par changement de variable de l'équation ci-dessus on obtient :

$$\sum_{n=0}^{N-1} h(n-k) \cdot h(n) = \sum_{i=0}^p a(i) \sum_{n=0}^{N-1} h(n-k) \cdot h(n-i) \quad (9) \quad 1 \leq k \leq p$$

D'après les équations (8) et (9), l'erreur quadratique totale minimisée est :

$$E_n = \sum_{n=0}^{N-1} h^2(n) - \sum_{k=1}^p a(k) \sum_{n=0}^{N-1} h(n) \cdot h(n-k) \quad (10)$$

La fonction d'autocorrélation de  $h(n)$  est définie comme suit :

$$R(k) = \sum_{n=0}^{\infty} h(n) \cdot h(n+k) ; R(k) = R(-k) \quad 1 \leq k \leq p$$

d'où :

$$E_n = R(0) - \sum_{k=1}^p a(k) \cdot R(k)$$

$$E_n = G^2 \sum_{n=0}^{N-1} S^2(n) = G^2 S^2(0) = G^2$$

Par conséquent :

$$E_n = R(0) - \sum_{k=1}^p a(k) \cdot R(k) = G^2$$

On remarque que le carré du gain  $G$  représente l'erreur quadratique totale de prédiction linéaire .

## II-2-6 - Calcul des coefficients de prédiction linéaire :

Soit à résoudre le système d'équation suivant :

$$\sum_{k=1}^p a(k) R(|i-k|) = R(i) \quad 1 \leq i \leq p$$

obtenu par la méthode d'autocorrélation .

On calcul les coefficients  $a(k)$  de prédiction linéaire pour ce système à l'aide de la méthode récursive de Durbin dont l'algorithme s'illustre comme suit :

Soit :

$$E^{(0)} = R(0)$$

$$k_i = \left[ R(i) - \sum_{j=1}^{i-1} a_j^{(i-1)} R(i-j) \right] / E^{(i-1)} \quad (1)$$

$$a_i^{(i)} = k_i \quad I \leq i \leq p \quad I \leq j \leq i - I$$

$$a_j^{(i)} = a_j^{(i-1)} - k_i a_{i-j}^{(i-1)}$$

$$E^{(i)} = (1 - k_i^2) E^{(i-1)} \quad (2)$$

La résolution des équations (1) et (2) se fait d'une manière récursive et la solution finale sera donnée ainsi :

$$a_j = a_j^{(p)} \quad I \leq j \leq p$$

L'avantage de cette méthode c'est qu'elle utilise  $P(P + I)$  opérations et utilise donc une place mémoire réduite par rapport à une autre méthode .



II-3 -COMPARAISON DES DEUX METHODES D'ANALYSE :  
( LPC et Cepstrale )

- Méthode d'analyse par prédiction linéaire :

Elle souffre des mêmes limitations que les méthodes classiques d'analyse numérique , liées au caractère non stationnaire et pseudo-périodique du signal de la parole . Sa supériorité provient du fait qu'elle est fondée sur un modèle simple de production de la parole constituant une bonne approximation du système phonatoire , mais elle utilise en général douze ( 12 ) coefficients de prédiction linéaire pour représenter la fonction de transfert du conduit vocal et les caractéristiques du signal source .

- Méthode cepstrale :

Cette méthode peut utiliser plus de huit ( 8 ) coefficients pour l'identification du locuteur . Néanmoins en reconnaissance de la parole ( multilocuteurs ) huit coefficients suffisent pour obtenir un taux de reconnaissance satisfaisant , mais son algorithme est complexe ( calcul du logarithme ) , et la méthode nécessite le calcul des filtres " MEL " ainsi que le lissage , ce qui influe sur le temps de reconnaissance de la parole .

On remarque que les deux méthodes d'analyse de la parole , en vue de la reconnaissance , sont équivalentes et peuvent être mises en application sur le TMS 320 IO .

Cependant pour les systèmes de reconnaissance multilocuteurs utilisant un grand nombre de mots à reconnaître , on utilise de préférence la méthode cepstrale car elle utilise moins de cases mémoires , pour le stockage d'un mot ( 8 coefficients ) , mais le temps de reconnaissance sera long par rapport à celui obtenu en utilisant la méthode d'analyse par prédiction linéaire ( LPC ) .

Pour les systèmes utilisant un vocabulaire réduit à reconnaître et exigeant un temps de reconnaissance rapide , la méthode LPC est recommandée .

CHAPITRE III

MISE EN OEUVRE DE L'ANALYSE A L'AIDE

DU T M S 320 IO

- III-1 - Mise en oeuvre de l'analyse L P C .
- III-2 - Mise en oeuvre de la F F T .



III-I - MISE EN OEUVRE DE LA METHODE L P C

Introduction :

La place mémoire disponible sur le T M S 320 IO ne permet pas de réaliser une analyse sur plus de 128 échantillons sans utiliser de mémoires extérieures.

Les programmes que nous avons développés comprennent toutes les étapes de l'analyse de la parole, la mémoire de données du T M S 320 IO aura été entièrement utilisée: 128 échantillons codés sur 16 bits sont chargés dans la page 0, ce qui correspond à 10 ms de parole pour une fréquence d'échantillonnage de 12,8 KHZ. Quant à la page I, elle est réservée aux indices et aux résultats intermédiaires nécessaires aux calculs.

Les étapes de cette analyse sont :

- Préaccentuation des échantillons
- Fenêtrage
- Calcul des coefficients d'autocorrelation
- Calcul des coefficients de prédiction linéaire

III-I-I - Préaccentuation des échantillons :

Cette opération se réalise aisément en numérique par la différentiation d'échantillons successifs :

$$S_1(n) = S(n) - S(n-1)$$

- où
- N : est le nombre d'échantillons
  - n : le rang de l'échantillon
  - S ( n ) : l'échantillon de rang n
  - S<sub>1</sub>( n ) : l'échantillon préaccentué.

Après exécution du programme correspondant à cette étape, les échantillons préaccentués S<sub>1</sub>( n ) écrasent les échantillons S ( n ) chargés précédemment dans la mémoire de données.

III-I-2-Fenêtrage :

La fenêtre de Hamming a été adoptée dans cette étape, pour ses caractéristiques :

- 99,96 % d'énergie concentrée dans le lobe principal.
- Niveau du I<sup>er</sup> lobe secondaire à 43,9 dB au dessous du niveau du lobe principal.

L'expression de cette fenêtre est donnée par :

$$H(n) = 0,54 - 0,46 \cos \left( \frac{2 \cdot \pi \cdot n}{N - 1} \right)$$

où N est la taille des échantillons.

Pratiquement, cette étape est réalisée en multipliant la valeur de chaque échantillon préaccentué par la valeur de la fenêtre de Hamming correspondant à son rang.

Soit donc :  $S_2(n) = S_1(n) \times H(n)$

où H(n) : est la fenêtre de Hamming

$S_1(n)$  : l'échantillon préaccentué

$S_2(n)$  : l'échantillon obtenu après fenêtrage.

Les échantillons  $S_2(n)$  écrasent les échantillons  $S_1(n)$  calculés précédemment.

III-I-3 - Calcul des coefficients d'autocorrelation :

La fonction d'autocorrelation est donnée par :

$$R(I) = \sum_{J=0}^{N-1-I} S(J) \cdot S(J+I)$$

où P : est l'ordre de prédiction linéaire

I : le rang du coefficient d'autocorrelation

Ces coefficients sont stockés à partir de la position mémoire  $(2P + 1)$  à  $3P$ .



III-I-4 - Calcul des coefficients de prédiction linéaire :

Nous avons utilisé pour ce calcul l'algorithme de Durbin illustré par l'organigramme de la méthode L P C .

Ces coefficients seront codés sur 16 bits et stockés dans la page 0 à partir de la position I à p .

III-I-5 - Temps d'exécution :

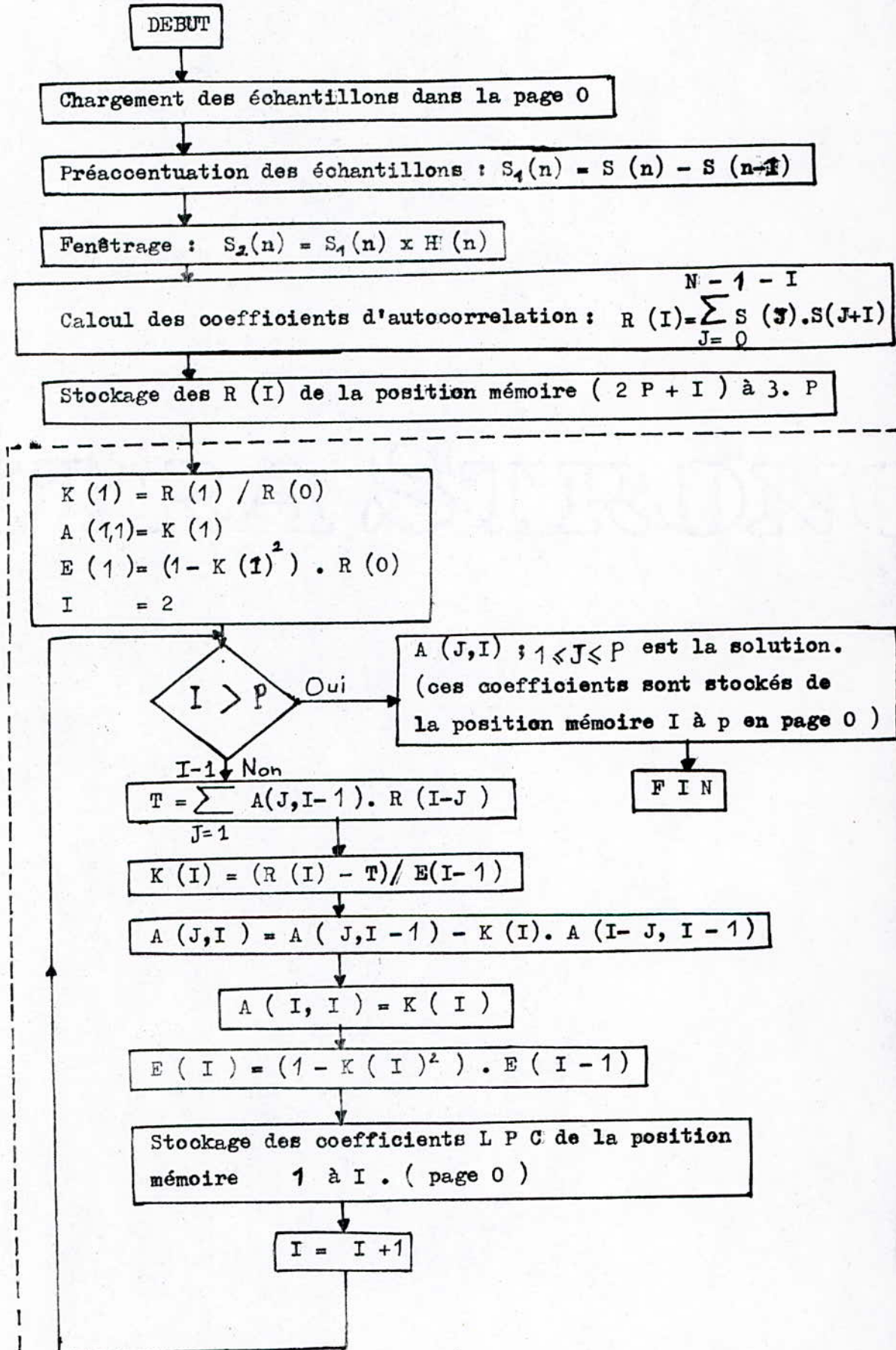
Le temps d'exécution de chaque programme est donné par :

- Préaccentuation -----	202 $\mu$ s
- Fenêtrage -----	308 $\mu$ s
- Calcul des coefficients d'autocorrelation -----	4418 $\mu$ s
- Calcul des coefficients L P C -----	1109 $\mu$ s

Le temps total est par conséquent : ----- 6037  $\mu$ s

Note : Les chargements des constantes et des données sont compris dans le temps d'exécution du programme. Ce programme nécessite une mémoire de programme de 323 mots de 16 bits.

- Organigramme de la méthode L P C



Algorithme de  
Durbin



Introduction :

Le T M S 320 IO peut calculer la F F T (algorithme RADIX 2) sur 64 points complexes ( sans R A M d'extension ) .

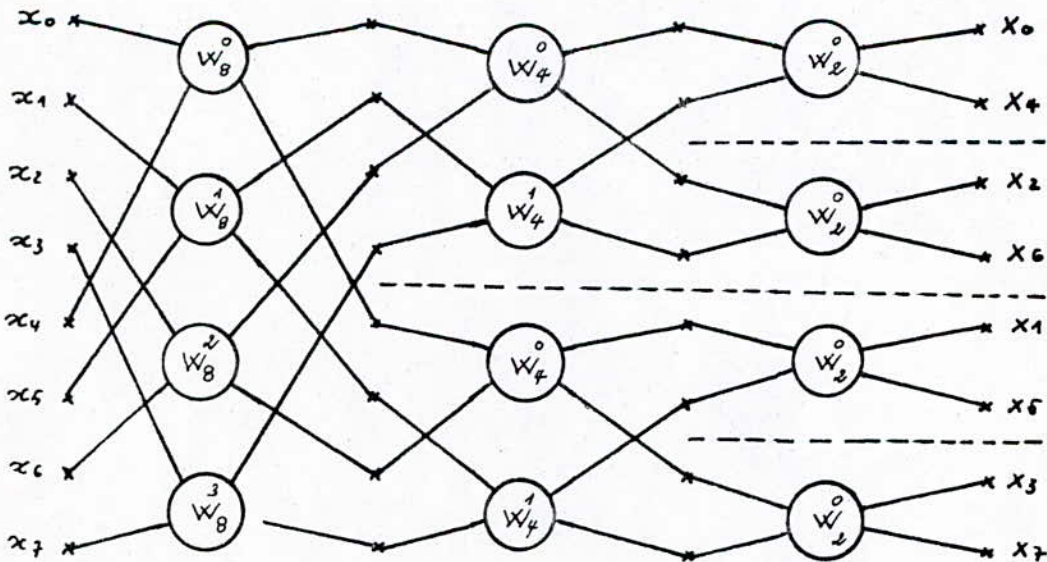
Les programmes contenus dans la disquette de simulation calculent la F F T sur 64 points complexes, avec entrelacement fréquentiels ( graphe de fluence F F T ) en utilisant une mémoire externe afin de stocker les résultats intermédiaires correspondant à chaque niveau de calcul. Cette mémoire est adressée par le port O et les données sont lues par l'intermédiaire du port I .

Comme nous disposons d'un logiciel qui simule seulement le T M S 320 IO sans R A M externe, nous étions donc ramenés à calculer la F F T sur 64 points complexes en utilisant uniquement la R A M interne du T M S 320 IO , soit donc la capacité mémoire interne maximale de ce microprocesseur.

Calcul de la F F T avec entrelacement fréquentiel :

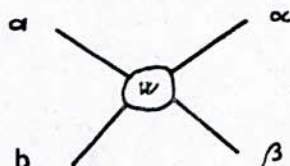
Dans cette méthode, les données sont chargées dans l'ordre normal et les résultats seront obtenus dans l'ordre du " bit- reverse". [ 6 ]

Pour " 08 " points, la graph~~e~~ de fluence est le suivant :



- Grappe de Fluence F F T -

Le papillon



correspond au calcul 
$$\begin{cases} \alpha = a + b \\ \beta = w(a - b) \end{cases} ; w = \exp\left[-j \frac{2 \cdot \pi}{N}\right]$$

Le programme que nous avons réalisé calcul la FFT sur 64 points complexes codés sur 16 bits puis chargés dans la page 0 comme valeur réelle suivie d'une valeur imaginaire, les résultats seront récupérés dans la même page et dans le même ordre. La page 1 est réservée aux indices et aux calculs intermédiaires.

Ce programme nécessite une mémoire de programme de 171 mots de 16 bits et s'exécute dans 1.7 ms, avec temps de chargement et de lecture compris.

Ce programme FFT a été développé dans le but de mettre au point un autre logiciel d'analyse de la parole sur TMS 320 IO en l'occurrence l'analyse cepstrale.

En effet, cette technique peut se résumer dans les étapes suivantes :

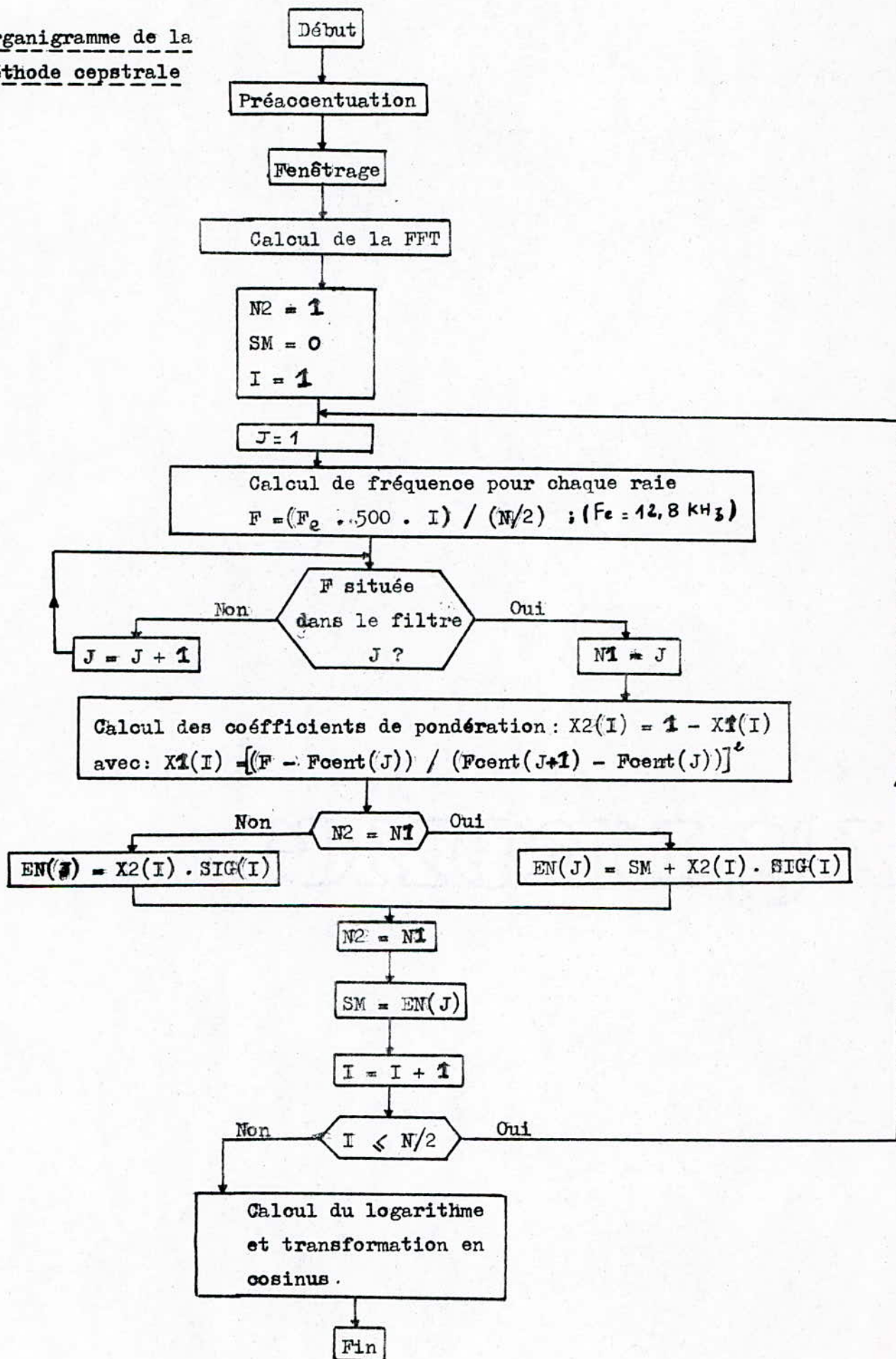
- Préaccentuation
  - Fenêtrage
  - FFT
  - Calcul des coefficients cepstraux sur l'échelle MEL
- pour ceci, nous proposons l'organigramme ci-dessous :

tel que :

- N : est la taille de la FFT.
- I : détermine le rang de la raie.
- J : détermine le numéro du filtre.
- XZ(I) : est le coefficient de pondération.
- SIG(I) : est l'énergie de la raie.
- F : est la fréquence de la raie.
- Fe : est la fréquence d'échantillonnage.
- EN(J) : énergie du filtre J.
- SM, N1, et N2 servent au calcul des énergies des filtres MEL.



Organigramme de la  
méthode cepstrale



CHAPITRE IV

RECOMMANDATIONS EN VUE DE LA REALISATION D'UN  
SYSTEME DE RECONNAISSANCE DE LA PAROLE EN UTILISANT  
LE T M S 320 IO

- IV-1 - Reconnaissance de la parole
- IV-2 - Mise en application sur le T M S 320 IO



#### IV-I - RECONNAISSANCE DE LA PAROLE

##### Introduction :

On peut classer les travaux dans ce domaine selon deux critères indépendants :

- Le premier critère est le caractère global ou analytique de l'approche utilisée . Une approche globale consiste à tenter de reconnaître le mot ou la phrase prononcée comme une entité unique , sans chercher à la scinder en ses composants phonétiques .

L'approche analytique , au contraire , tire partie de la structure de la parole et des résultats de la phonétique pour isoler et identifier les constituants élémentaires ( phonèmes , diphonèmes , etc ... ) du message parlé . [ 2 ]

- Le second critère concerne le type d'élocution accepté par le système : mots isolés , ou parole continue .

##### Les systèmes de reconnaissance dits " globaux " :

Dans un système global , l'unité minimale est le mot ( ou groupe de mots ) enregistré comme référence acoustique .

La reconnaissance globale de mots isolés consiste à identifier un mot prononcé par comparaison à tous les mots du vocabulaire . La réponse est alors la classe dont le mot reconnu se rapproche le plus .

L'établissement du " dictionnaire " contenant tous les mots du vocabulaire est effectué au cours d'une phase d'apprentissage ( enregistrement des mots du vocabulaire ) . Pour les systèmes monolocuteurs , chaque utilisateur doit effectuer une phase d'apprentissage , tandis que pour les systèmes multilocuteurs l'apprentissage est effectué une fois pour toute suivant un algorithme de classification choisi .

La figure ( I ) donne le schéma général d'un système global de reconnaissance . Les systèmes globaux nécessitent de stocker pour chaque mot du vocabulaire au moins une forme de référence , ce qui représente une grosse capacité de mémoire , donc il faut utiliser un codage qui réduit le débit , tout en gardant les paramètres pertinents pour la reconnaissance , l'extraction de ces paramètres est assurée par l'analyseur acoustique .

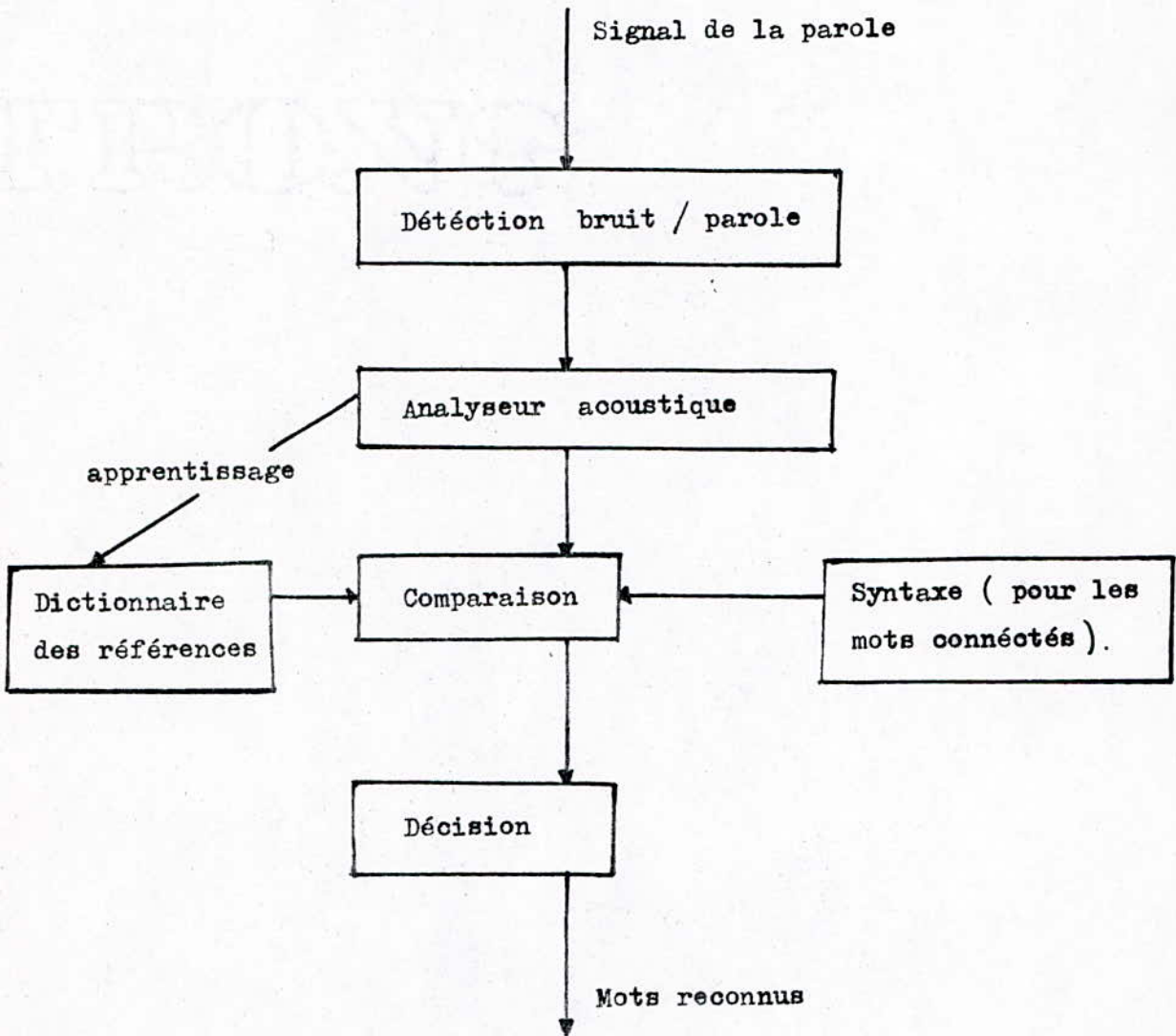


Figure ( I ) \_ Système globale de reconnaissance



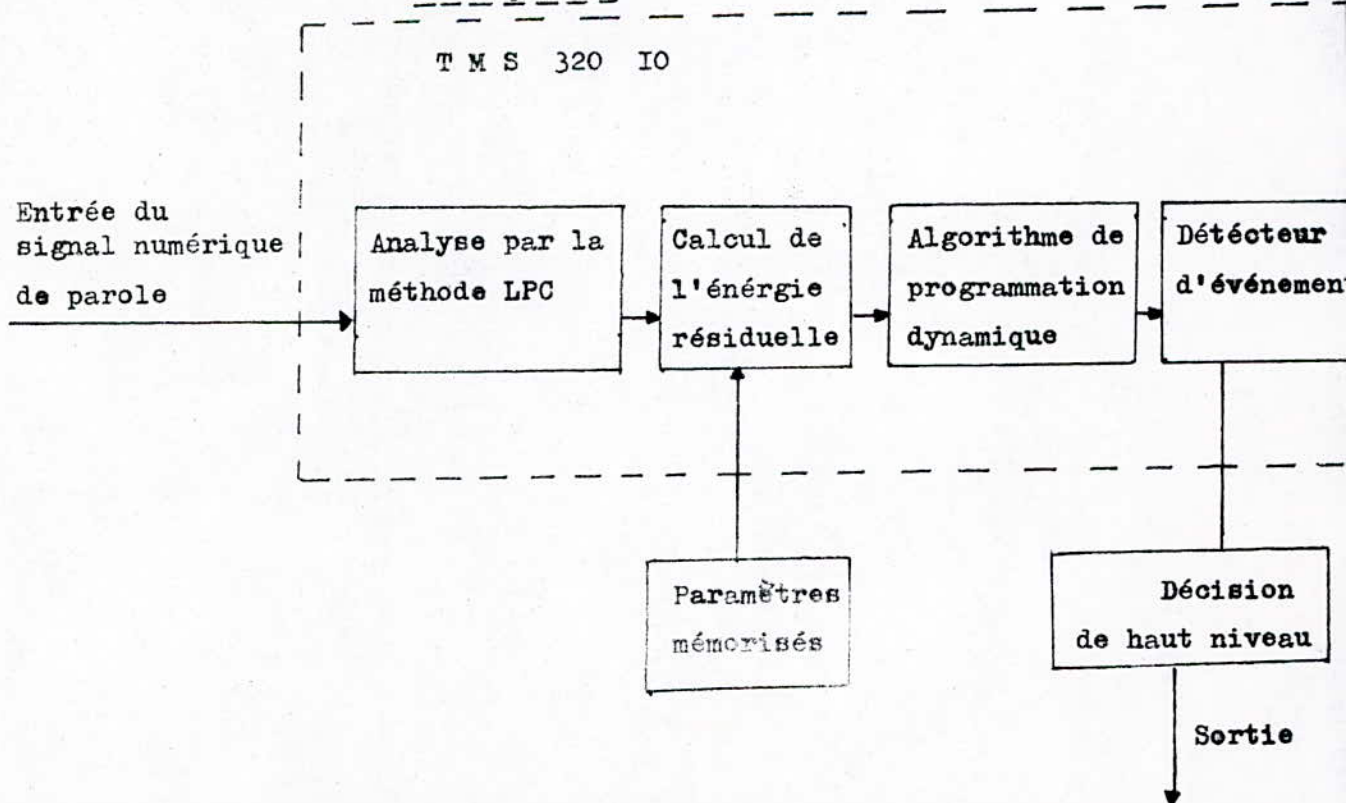
IV-2 - MISE EN APPLICATION SUR LE T M S 320 IO

La méthode de la reconnaissance de la parole pouvant être mise en application par le T M S 320 IO est illustrée par la figure ( 2 ) . L'analyseur acoustique par la méthode LPC extrait les paramètres pertinents du mot lesquels passeront ensuite à travers un filtre inverse formé par des paramètres de référence . Quand ces paramètres sont identiques à ceux stockés dans la mémoire , la sortie du filtre inverse ( énergie résiduelle ) est à peu près nulle . Voir figure ( 3 ) .

L'algorithme de programmation dynamique permet une adaptation à chaque fois que le mot est exprimé à une vitesse différente que celle du mot stocké dans la mémoire , donc il réalise une normalisation temporelle .

Le détecteur d'événement sélectionne les adaptations possibles des mots stockés et les passera ensuite à travers la fonction de décision de haut niveau qui donnera le mot sélectionné parmi toutes ces possibilités . [12]

Figure ( 2 ) : Méthode approchée à la reconnaissance de la parole .



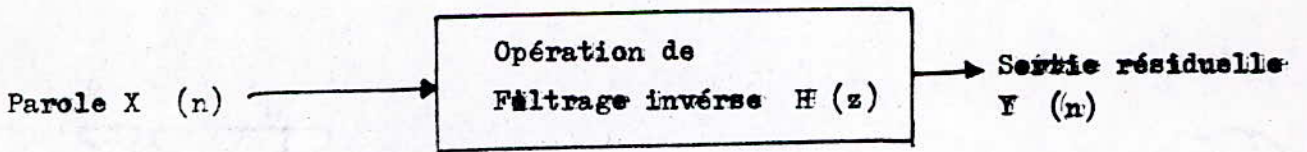
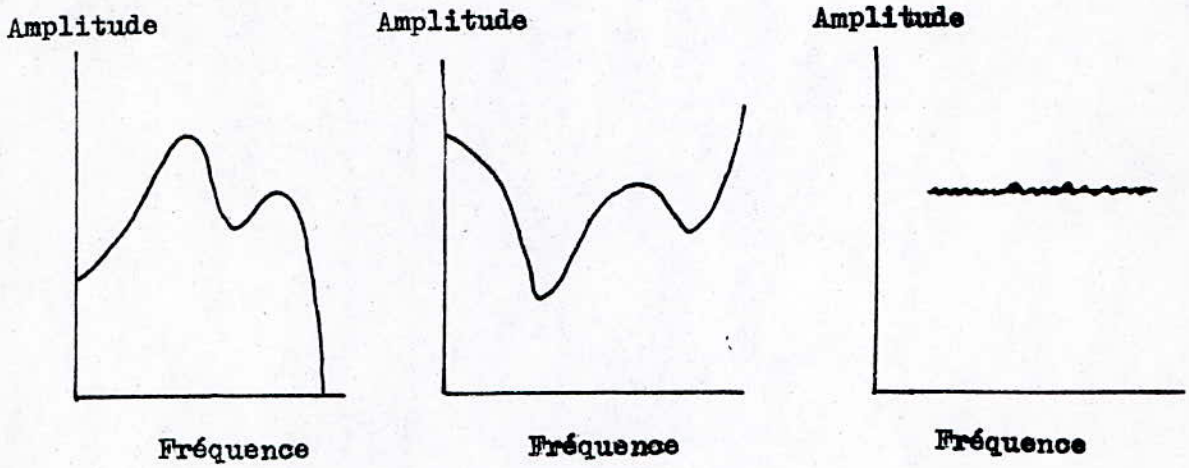
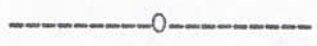


Figure ( 3 ) : Filtrage inverse .



- PROGRAMMATION -



```
* #####  
* # #  
* # CALCUL DES COEFFICIENTS DE PREDICTION LINEAIRE #  
* # #  
* #####
```

```
*  
* Ce programme traite l'analyse par prédiction linéaire  
* sur 128 échantillons codés sur 16 bits et chargés dans la  
* page 0 . Les résultats sont récupérés dans la meme page  
* de la position mémoire 1 à P .  
* La page 1 est réservées aux indices et aux résultats  
* intermédiaires nécessaires aux calculs .
```

```
* Liste des constantes  
*****
```

```
*  
N EQU 127 * Taille des échantillons  
P EQU 12 * Ordre de prédiction  
NI EQU 126 * NI=N-1  
PI EQU 11 * PI=P-1  
X EQU 25 * X=(2*P)+1  
Y EQU 36 * Y=3*P  
Z EQU 63 * Z=(N/2)-1  
*****
```

```
* Positions mémoire de la page 1  
*****
```

```
*  
I EQU 0 * I,J,I1,NJ,JI,et K servent de compteurs  
J EQU 1 * de boucles et d'indexes  
I1 EQU 2  
NJ EQU 3  
JI EQU 4  
K EQU 5  
KI EQU 6 * Valeur de K(I)  
EI EQU 7 * Valeur de E(I)  
T EQU 8 * Valeur de T  
AJ EQU 9 * Valeur de A(J,I)  
NUMERA EQU 10 * Numérateur  
DENOM EQU 11 * Dénominateur  
QUOT EQU 12 * Résultat sur la division  
FRAC EQU 13 * Définit la précision de la division  
SIGNE EQU 14 * Signe de la division  
UN EQU 15 * Contient la valeur 32767  
*****
```

```
* Préaccentuation des échantillons  
*****
```

```
*  
START AORG 0  
LDPK 1  
LARP 0  
LARK ARO,NI  
BCLP LAC *  
MAR *-  
SUBS *+
```



```
SACL *- * S1(n)=S(n)-S(n-1)
SAR ARO,I
LAC I
BGZ BCLP * I variant de 1 à N
```

```
*
* Fenétrage
*****
*
```

```
BCLF LACK FEN
SACL I1
LARK ARO,0
SAR ARO,I
LAC I1 * Valeur courante de H(n)
TBLR NJ
LT NJ
MPY *
PAC * S2(n)=S1(n)*H(n)
SACH *,0,1 * n variant de 0 à (N/2)-1
LACK NI
SUBS I
SACL JI
LAR AR1,JI
MPY *
PAC * S2(n)=S1(n)*H(n)
SACH *,0,0 * n variant de N/2 à N-1
LACK 1
ADDS I1
SACL I1
LACK Z * Z=(N/2)-1
SUBS I
MAR *+
BGZ BCLF * I variant de 0 à (N/2)-1
```

```
*
* Calcul des coefficients d'autocorrelation
*****
*
```

```
BCLR LACK 1
SACL I1
LT I1
MPYK ADR
PAC
SACL I1
LARK ARO,PI
ZAC * Initialisation de R(I)
SACL NJ
SAR ARO,I
LACK NI
SUBS I
SACL J
LAR AR1,J
BCLS LARP 1
SAR AR1,J
LT *,0
LAC J
ADDS I
SACL JI
LAR ARO,JI
MPY *,1
```

```

PAC
SACH K
LAC NJ
ADDS K
SACL NJ
BANZ BCLS * J variant de 0 à N-1-I
LAC I1
TBLW NJ N-1-I
LACK 1 ----
ADDS I1 \
SACL I1 * R(I) = /---- S(J)*S(J+I)
LARP 0 J=0
LAR ARO,I
BANZ BCLR * I variant de 1 à P

```

```

*
* Transfert des R(I) de la ROM vers la RAM
*****
*

```

```

LARK ARO,Y
LACK 1
SACL I1
LT I1
MPYK ADR
PAC
SACL I1
BCLTR SAR ARO,JI
LAC I1
TBLR *
LACK 1
ADDS I1
SACL I1
LACK X
SUBS JI
MAR *-
BLZ BCLTR

```

```

*
*Calcul des coefficients de prédiction lineaire
*****
*

```

```

LARK ARO,N
LAC *
SACL DENOM * Chargement du diviseur (R(0))
MAR *+
LAC *
SACL NUMERA * Chargement du dividande (R(1))
CALL DIV * Exécution de la division
LAC QUOT
SACL KI * K(1)=R(1)/R(0)
LARK ARO,1 * A(1,1)=K(1)
SACL *
LT KI
MPY KI
PAC
SACH EI * E(1)=K(1)^2
LACK ONE
TBLR UN
LAC UN
SUBS EI

```

	SACL EI	* $E(1)=1-K(1)^2$
	LARK ARO,N	
	LT *	
	MPY EI	
	PAC	
	SACH EI	* $E(1)=(1-K(1)^2)*E(0)$
BCLI	LARK ARO,1	* $(E(0)=R(0))$
	ZAC	
	SACL T	* Initialisation de T
	MAR *+	
	SAR ARO,I	
	MAR *- ,1	
	SAR ARO,I1	
BCLJ	LARK AR1,0	
	MAR *+	
	SAR AR1,J	
	LACK N	
	ADDS I	
	SUBS J	
	SACL NJ	* Adresse de R(I-J)
	LAR AR1,NJ	
	LT *	
	LAR AR1,J	
	MPY *	* $A(J,I-1)*R(I-J)$
	PAC	
	SACH JI	I-1
	LAC JI	---
	ADDS T	\
	SACL T	* $T = \sum_{J=1} A(J,I-1)*R(I-J)$
	LAC I1	J=1
	SUBS J	
	BGZ BCLJ	* J variant de 1 à I-1
	LACK N	
	ADDS I	
	SACL JI	* Adresse des R(I)
	LAR AR1,JI	
	LAC *,0,0	
	SUBS T	
	SACL NUMERA	* Chargement du dividande
	LAC EI	* $(R(I)-T)$
	SACL DENOM	* Chargement du diviseur $(E(I-1))$
	CALL DIV	* Execution de la division
	LAC QUOT	
	SACL KI	* $K(I)=(R(I)-T)/E(I-1)$
BCLA	LARK ARO,0	
	MAR *+	
	SAR ARO,J	
	LAC I	
	SUBS J	
	SACL JI	* Adresse de $A(I-J,I-1)$
	LAR ARO,JI	
	LT *	
	MPY KI	
	PAC	
	SACH AJ	* $A(J,I)=K(I)*A(I-J,I-1)$
	LAR ARO,J	
	LAC *	
	SUBS AJ	



```
SACL AJ * A(J,I)=A(J,I-1)-K(I)*A(I-J,I-1)
LACK P
ADDS J
SACL JI
LAR ARO,JI
LAC AJ
SACL *
LAR ARO,J
LAC I1
SUBS J
BGZ BCLA * J variant de 1 à I-1
LACK P
ADDS I
SACL JI * Adresse de A(I,I)
LAR ARO,JI
LAC KI
SACL * * A(I,I)=K(I)
LT KI
MPY KI
PAC
SACH K * K=K(I)^2
LACK ONE
TBLR UN
LAC UN
SUBS K
SACL K * K=1-K(I)^2
LT K
MPY EI
PAC
SACH EI * E(I)=(1-K(I)^2)*E(I-1)
LARK AR1,P
LARK ARO,0
BCLST MAR *+,1
SAR ARO,J
MAR *+
LAC *,0,0
SACL * * Stockage des coefficients LPC
LAC I
SUBS J
BGZ BCLST
LAR ARO,I
LACK P
SUBS I
BGZ BCLI * I variant de 1 à P
B FIN
ONE EQU $
DATA 32767
*
```

\* Sous programme de la division  
\*\*\*\*\*

\*  
DIU            LACK 15  
              SACL FRAC  
              LT    NUMERA  
              MPY  DENOM  
              PAC  
              SACH SIGNE    \* Sauvegarde du signe de la division  
              LAC  DENOM  
              ABS  
              SACL DENOM    \* Rendre le dénominateur positif  
              LACK 15  
              ADD  FRAC  
              SACL FRAC    \* sert pour la précision  
              LAC  NUMERA  
              ABS            \* Rendre le numérateur positif  
              LAR  ARO,FRAC  
BCLD           SUBC DENOM            \* boucle de division  
              BANZ BCLD  
              SACL QUOT  
              LAC  SIGNE  
              BGEZ FDIU    \* Brancher vers FDIU si le signe  
              ZAC            \* est positif  
              SUB  QUOT  
              SACL QUOT    \* Quotient négatif  
FDIU           RET

\*  
\* Valeurs de la fenêtre de Hamming  
\*\*\*\*\*

\*  
FEN EQU \$  
DATA 2621    \* Ces valeurs sont calculées à partir  
DATA 2640    \* de l'expression suivante :  
DATA 2695    \*  $H(n) = 0.54 - 0.46 * \cos((2 * k) / 127)$   
DATA 2787    \* avec  $0 \leq k \leq 63$  en raison de  
DATA 2916    \* symétrie . Elle sont ensuite codées  
DATA 3080    \* sur 16 bits , tel que la valeur de  
DATA 3281    \* 32767 correspond à  $H(n)=1$  .  
DATA 3516  
DATA 3787  
DATA 4091  
DATA 4429  
DATA 4799  
DATA 5201  
DATA 5633  
DATA 6095  
DATA 6585  
DATA 7102  
DATA 7645  
DATA 8213  
DATA 8804  
DATA 9417  
DATA 10050  
DATA 10702  
DATA 11371  
DATA 12055  
DATA 12754  
DATA 13464  
DATA 14185  
DATA 14914  
DATA 15650  
DATA 16391  
DATA 17135  
DATA 17881  
DATA 18626

DATA 19369  
DATA 20107  
DATA 20840  
DATA 21565  
DATA 22281  
DATA 22985  
DATA 23677  
DATA 24354  
DATA 25014  
DATA 25657  
DATA 26280  
DATA 26882  
DATA 27462  
DATA 28018  
DATA 28548  
DATA 29052  
DATA 29528  
DATA 29975  
DATA 30393  
DATA 30779  
DATA 31133  
DATA 31454  
DATA 31741  
DATA 31994  
DATA 32212  
DATA 32395  
DATA 32542  
DATA 32652  
DATA 32726  
DATA 32762

ADR EQU \$

DATA ADR  
END



```
*          #####
*          #
*          #   CALCUL DE LA FFT 64 POINTS COMPLEXES   #
*          #
*          #####
*
*          Le TMS 320 10 peut calculer une FFT (radix 2)
*          sur 64 points complexes en utilisant seulement la RAM
*          interne .
*          Les données sont dans la page 0 , organisées
*          comme valeur réelle suivit d'une valeur imaginaire ,
*          pour chaque point complexe .
*          -nk
*          Les coefficients (W ) sont chargés dans la
*          mémoire de programme .
*
* List des constantes
* *****
*
* N est la taille de la transforméé . N = 2**M.
N EQU 64
M EQU 6
M1 EQU 5          * M1=M-1
N3 EQU 62         * N3=N-2
* *****
*
* positions memoires de la page 1
* *****
*
XT EQU 0          * Valeur intermédiaire X(I)
YT EQU 1          * Valeur intermédiaire Y(I)
I EQU 2           * Premier index
L EQU 3           * Deuxième index
COS EQU 4         * Partie réelle du coefficient
SIN EQU 5         * et sa partie imaginaire.
IA EQU 6          * Index de coefficients .
IE EQU 7          * Pour incrementer IA .
HOLDN EQU 8       * Contient la valeur N .
QUARTN EQU 9      * Contient la valeur N/4 .
N1 EQU 10         * Incrémente I.
N2 EQU 11         * Séparation de I et L .
J EQU 12          * compteur de boucle .
ONE EQU 13        * Contient la valeur 1 .
TABLE EQU 14     * position de la table de coefficients.
A EQU 15         * Sert pour le cucul du "bit reverse" .
* *****
```

\* debut de programme

\*

AORG 0

START

LDPK 1  
LACK 1  
SACL ONE  
SACL IE  
LT ONE  
MPYK SINE  
PAC

\* Initialisation de IE = 1

SACL TABLE  
MPYK N  
PAC

\* Table contenant la position  
\* du coefficient.

SACL HOLDN  
SACL N2  
LAC HOLDN,14  
SACH QUARTN

\* Holdn = N  
\* Initialisation de N2 = N

KLOOP

LARK ARO,M1  
SAR ARO,A  
LACK RAO  
TBLW A  
LARP 1

\* Quartn = N/4  
\* ARO contient K compteurs

LAC N2,15  
SACH N1,1

\* N1 = N2  
\* N2 = N2/2

SACH N2  
ZAC

SACL IA  
SACL J

LAR AR1,N2  
MAR \*-

\* AR1 contient la valeur J  
\* commencer à N2-1

JLOOP

SAR AR1,A  
LACK RA1  
TBLW A  
LAC TABLE  
ADD IA  
TBLR SIN  
ADD QUARTN  
TBLR COS

\* lire la paire de coefficients

LAC IA  
ADD IE

SACL IA  
LAC J,1

\* IA = IA + IE

ILOOP

SACL I  
LAC I

\* I = J (la donnée est organisée  
\* comme une valeur réelle suivie

ADD N2,1  
SACL L

\* d'une valeur imaginaire .  
\* L = I + N2

\* Calcul du papillon

\*\*\*\*\*

\*

LARP 0  
LAR ARO,I  
LAR AR1,L  
LAC \*,0,1  
SUB \*

SACL XT  
ADD \*,1,0

\* XT = XI - XL

SACL \*+  
LAC \*,0,1

\* XI = XI + XL

SACL YT  
ADD \*,1,0

\* YT = YI - YL

SACL \*,0,1

\* YI = YI + YL

```

      LT   COS
      MPY  YT
      PAC
      LT   SIN
      MPY  XT
      SPAC
      SACH *-,1      * YL = COS*YT - SIN*XT
      MPY  YYT
      PAC
      LT   COS
      MPY  XXT
      APAC
      SACH *,1,1    * XL = COS*XXT + SIN*YYT
*
* Incrémentation pour la boucle suivante .
*
      LAC  I
      ADD  N1,1      * I = I + N1
      SACL I
      SUB  HOLDN,1  * jusqu'à I < N
      BLZ  ILOOP
      LAC  J
      ADD  ONE      * J = J + 1
      SACL J
      LACK RA1
      TBLR A
      LAR  AR1,A
      BANZ JLOOP
      LAC  IE,1
      SACL IE      * IE = 2 * IE
      LARP 0
      LACK  RAO
      TBLR A
      LAR  ARO,A
      BANZ KLOOP
* compteur de "bit-reverse".
*
DEBUT      ZAC
           SACL L
           SACL I
           LACK N3
           SACL A
LOOP1      LAC  I      * si I >= L, brancher vers LOOP2
           SUB  L
           BGEZ LOOP2
           LARP 0
           LAR  ARO,I
           LAR  AR1,L
           LAC  *+
           SACL XT
           LAC  *-,0,1
           SACL YT
           LAC  *-,0,0
           SACL *-,0,1
           LAC  *-,0,0
           SACL *,0,1
           LAC  XT
           SACL *+
```



```

LAC   YT
SACL *
LOOP2 LAC  HOLDN
      SACL  J          * J = N
LOOP3 LAC   L
      SUB   J          * si L >= J alors
      BLZ  LOOP4
      SACL  L          * L = L - J
      LAC  J,15
      SACH  J          * J = J/2.
      B    LOOP3
LOOP4 ADD  J,1
      SACL  L
      LAC  I
      ADD  ONE,1
      SACL  I          * Incréments I
      LAC  A
      SUB  ONE
      SACL  A
      BLZ  LOOP1
FIN   B    FIN
RA1 EQU $
      DATA RA1
RA0 EQU $
      DATA RA0

```

\*  
 \* table de coefficients (la taille de la table est 3n/4).  
 \*\*\*\*\*

SINE EQU \$

COSINE EQU \$

SINE EQU \$

- DATA 0
- DATA 3211
- DATA 6392
- DATA 9511
- DATA 12539
- DATA 15446
- DATA 18204
- DATA 20787
- DATA 23169
- DATA 25329
- DATA 27244
- DATA 28897
- DATA 30272
- DATA 31356
- DATA 32137
- DATA 32609

- DATA 32767
- DATA 32609
- DATA 32137
- DATA 31356
- DATA 30272
- DATA 28897
- DATA 27244
- DATA 25329
- DATA 23169
- DATA 20787
- DATA 18204
- DATA 15446
- DATA 12539
- DATA 9511
- DATA 6392
- DATA 3211
- DATA 0
- DATA -3211
- DATA -6392
- DATA -9511
- DATA -12539
- DATA -15446
- DATA -18204
- DATA -20787
- DATA -23169
- DATA -25329
- DATA -27244
- DATA -28897
- DATA -30272
- DATA -31356
- DATA -32137
- DATA -32609
- END

\* Pour le codage des coefficients  
 \* on écrit la valeur maximale de  
 \* sinus ou cosinus (1) sur 16 bits  
 \* signés (7FFF = 1, FFFF = -1)  
 \* et on déduit les autres valeurs.

**Echantillons :**

ENTER COMMAND (HELP=<CR>):

RAMI

ENTER 0 TO DISPLAY ADDRESSES >0 - >47  
1 TO DISPLAY ADDRESSES >48 - >89

0

>>ADDRESS

0	306	2184	3039	2628	2457	3023	2799	4014
8	4059	3023	-8225	1363	3547	67	51	13364
10	13106	21573	26486	-30856	-26472	17219	803	12850
18	4626	-8225	-17220	8621	-545	-35	21588	25942
20	-30600	-27258	3021	2783	221	255	197	0
28	187	1349	21573	21573	1622	86	3039	4013
30	171	3018	203	-27288	52	67	86	120
38	137	9	135	118	103	3530	101	86
40	84	4013	2731	3005	4	69	84	67

ENTER COMMAND (HELP=<CR>):

RAMI

ENTER 0 TO DISPLAY ADDRESSES >0 - >47  
1 TO DISPLAY ADDRESSES >48 - >89

1

>>ADDRESS

48	67	50	50	2	33	18	33	84
50	188	188	188	11	203	33	67	33
58	86	6	84	67	3021	163	1277	52
60	50	529	33	541	539	538	540	173
68	52	1347	101	17355	188	3023	3018	3018
70	3279	13	253	10	33	50	1023	3
78	52	67	203	12	-13448	203	2198	-26512
80	0	0	0	0	0	0	0	0
88	0	0	0	0	0	0	0	0

**Résultats de la LPC ( a(k) ) :**

ENTER COMMAND (HELP=<CR>):

RAMI

ENTER 0 TO DISPLAY ADDRESSES >0 - >47  
1 TO DISPLAY ADDRESSES >48 - >89

0

>>ADDRESS

0	12	-6691	8965	3368	1870	-15847	7123	-5843
8	867	12714	29463	9890	-26065	-6691	8965	3368
10	1870	-15847	7123	-5843	867	12714	29463	9890
18	-26065	10197	-2296	-1577	941	879	-663	-572
20	2303	-1021	-1784	-407	487	11	-20	-70
28	67	431	7719	0	-8001	-631	1237	416
30	-1674	1262	-1269	-12574	12679	7	9	16
38	8	-63	61	-9	-8	1707	-1713	-4
40	-1	1957	-637	135	-1476	31	7	-9



Résultats de la FFT ( radix 2 ) :

ENTER COMMAND (HELP=<CR>):  
RAMI

ENTER 0 TO DISPLAY ADDRESSES >0 - >47  
1 TO DISPLAY ADDRESSES >48 - >89

>>ADDRESS

0	-28569	1911	28920	-28921	24291	-24292	24290	-24291
8	59	-19298	20112	-20113	-22682	22681	-22682	22681
10	-30888	-598	-25266	25265	-197	196	-197	196
18	17373	-24061	19886	-19887	18629	-18630	18628	-18629
20	-26248	30719	20411	-20412	30591	-30592	30590	-30591
28	11739	20982	-13963	13962	31655	-31656	31654	-31655
30	3345	-784	8876	-8877	-9771	9770	-9771	9770
38	-29643	-24733	25980	-25981	30936	-30937	30935	-30936
40	5225	15979	-1165	1164	-18416	18415	-18416	18415

ENTER COMMAND (HELP=<CR>):  
RAMI

ENTER 0 TO DISPLAY ADDRESSES >0 - >47  
1 TO DISPLAY ADDRESSES >48 - >89

1

>>ADDRESS

48	-22019	30617	-8639	8638	-15329	15328	-15329	15328
50	28786	31079	5695	-5696	-9221	9220	-9221	9220
58	27431	-1510	-19413	19412	4008	-4009	4007	-4008
60	2341	-25350	9228	-9229	-8091	8090	-8091	8090
68	7414	-13371	-4230	4229	1591	-1592	1590	-1591
70	-19181	-13124	-30849	30848	25452	-25453	25451	-25452
78	8574	-15730	-8138	8137	217	-218	216	-217
80	217	-218	2	64	0	32767	32	64
88	64	16	2	1	64	1	140	61

Ces résultats sont codés sur 16 bits, pour les décoder il suffit de les diviser par 32767 .

On constate que les coefficients de prédiction linéaire sont compris entre -1 et +1 ce qui justifie la bonne exécution du programme d'analyse .



## CONCLUSION

---

Le développement de microprocesseurs spécialisés et l'affinage des algorithmes de traitement du signal ouvrent, en permanence, de nouvelles applications dans le domaine de la communication parlée.

L'étude du microprocesseur TMS 320 10 de TEXAS INSTRUMENTS, nous a permis de connaître ses capacités et ses performances, afin de mettre en oeuvre une application d'analyse en vue de la reconnaissance de la parole.

Cette modeste contribution à la reconnaissance s'est matérialisée principalement par deux programmes : le premier développe la technique d'analyse par prédiction linéaire et le second, la transformée de fourier rapide.

Nous pouvons affirmer que l'objectif visé, dans le cadre de notre projet de fin d'étude a été atteint. En effet, d'une part ce travail nous a permis de compléter notre formation dans un sujet d'actualité et d'autre part les temps d'exécution (6 ms pour l'analyse) et les performances du TMS 320 10 nous laissent optimiste à la réalisation de systèmes de reconnaissance de la parole en temps réel.

ANNEXE

### Instruction Set Summary

The instruction set summary in the following table consists primarily of single-cycle single-word instructions. Only infrequently used branch and I/O instructions are multicyle.

TABLE I -- INSTRUCTION SET SUMMARY

ACCUMULATOR INSTRUCTIONS																				
MNEMONIC	DESCRIPTION	NO. CYCLES	NO. WORDS	OPCODE INSTRUCTION REGISTER																
				15	14	13	12	11	10	9	8	7	6	5	4	3	2	1	0	
ABS	Absolute value of accumulator	1	1	0	1	1	1	1	1	1	1	1	1	0	0	0	1	0	0	0
ADD	Add to accumulator with shift	1	1	0	0	0	0	← S →	1	← D →										
ADDH	Add to high-order accumulator bits	1	1	0	1	1	0	0	0	0	0	1	← D →							
ADDS	Add to accumulator with no sign extension	1	1	0	1	1	0	0	0	0	1	1	← D →							
AND	AND with accumulator	1	1	0	1	1	1	1	0	0	1	1	← D →							
LAC	Load accumulator with shift	1	1	0	0	1	0	← S →	1	← D →										
LACK	Load accumulator immediate	1	1	0	1	1	1	1	1	1	0	← K →								
OR	OR with accumulator	1	1	0	1	1	1	1	0	1	0	1	← D →							
SACH	Store high-order accumulator bits with shift	1	1	0	1	0	1	1	← X →	1	← D →									
SACL	Store low order accumulator bits	1	1	0	1	0	1	0	0	0	0	1	← D →							
SUB	Subtract from accumulator with shift	1	1	0	0	0	1	← S →	1	← D →										
SUBC	Conditional subtract (for divide)	1	1	0	1	1	0	0	1	0	0	1	← D →							
SUBH	Subtract from high-order accumulator bits	1	1	0	1	1	0	0	0	1	0	1	← D →							
SUBS	Subtract from accumulator with no sign extension	1	1	0	1	1	0	0	0	1	1	1	← D →							
XOR	Exclusive OR with accumulator	1	1	0	1	1	1	1	0	0	0	1	← D →							
ZAC	Zero accumulator	1	1	0	1	1	1	1	1	1	1	1	0	0	0	1	0	0	1	
ZALH	Zero accumulator and load high-order bits	1	1	0	1	1	0	0	1	0	1	1	← D →							
ZALS	Zero accumulator and load low-order bits with no sign extension	1	1	0	1	1	0	0	1	1	0	1	← D →							



TABLE II - INSTRUCTION SET SUMMARY (CONTINUED)

AUXILIARY REGISTER AND DATA PAGE POINTER INSTRUCTIONS																			
MNEMONIC	DESCRIPTION	NO. CYCLES	NO. WORDS	OPCODE INSTRUCTION REGISTER															
				15	14	13	12	11	10	9	8	7	6	5	4	3	2	1	0
LAR	Load auxiliary register	1	1	0	0	1	1	1	0	0	R	I	← D →						
LARK	Load auxiliary register immediate	1	1	0	1	1	1	0	0	0	R	← K →							
LARP	Load auxiliary register pointer immediate	1	1	0	1	1	0	1	0	0	0	1	0	0	0	0	0	0	K
LDP	Load data memory page pointer	1	1	0	1	1	0	1	1	1	1	I	← D →						
LDPK	Load data memory page pointer immediate	1	1	0	1	1	0	1	1	1	0	0	0	0	0	0	0	0	K
MAR	Modify auxiliary register and pointer	1	1	0	1	1	0	1	0	0	0	I	← D →						
SAR	Store auxiliary register	1	1	0	0	1	1	0	0	0	R	I	← D →						

BRANCH INSTRUCTIONS																			
MNEMONIC	DESCRIPTION	NO. CYCLES	NO. WORDS	OPCODE INSTRUCTION REGISTER															
				15	14	13	12	11	10	9	8	7	6	5	4	3	2	1	0
B	Branch unconditionally	2	2	1	1	1	1	1	0	0	1	0	0	0	0	0	0	0	0
				← BRANCH ADDRESS →															
BANZ	Branch on auxiliary register not zero	2	2	1	1	1	1	0	1	0	0	0	0	0	0	0	0	0	0
				← BRANCH ADDRESS →															
BGEZ	Branch if accumulator ≥ 0	2	2	1	1	1	1	1	1	0	1	0	0	0	0	0	0	0	0
				← BRANCH ADDRESS →															
BGZ	Branch if accumulator > 0	2	2	1	1	1	1	1	1	0	0	0	0	0	0	0	0	0	0
				← BRANCH ADDRESS →															
BIOZ	Branch on $\overline{BIO} = 0$	2	2	1	1	1	1	0	1	1	0	0	0	0	0	0	0	0	0
				← BRANCH ADDRESS →															
BLEZ	Branch if accumulator ≤ 0	2	2	1	1	1	1	1	0	1	1	0	0	0	0	0	0	0	0
				← BRANCH ADDRESS →															
BLZ	Branch if accumulator < 0	2	2	1	1	1	1	1	0	1	0	0	0	0	0	0	0	0	0
				← BRANCH ADDRESS →															
BNZ	Branch if accumulator ≠ 0	2	2	1	1	1	1	1	1	1	0	0	0	0	0	0	0	0	0
				← BRANCH ADDRESS →															
BV	Branch on overflow	2	2	1	1	1	1	0	1	0	1	0	0	0	0	0	0	0	0
				← BRANCH ADDRESS →															
BZ	Branch if accumulator = 0	2	2	1	1	1	1	1	1	1	1	0	0	0	0	0	0	0	0
				← BRANCH ADDRESS →															
CALA	Call subroutine from accumulator	2	1	0	1	1	1	1	1	1	1	1	0	0	0	1	1	0	0
CALL	Call subroutine immediately	2	2	1	1	1	1	1	0	0	0	0	0	0	0	0	0	0	0
				← BRANCH ADDRESS →															
RET	Return from subroutine	2	1	0	1	1	1	1	1	1	1	1	0	0	0	1	1	0	1

TABLE I - INSTRUCTION SET SUMMARY (CONCLUDED)

T REGISTER, P REGISTER, AND MULTIPLY INSTRUCTIONS																				
MNEMONIC	DESCRIPTION	NO. CYCLES	NO. WORDS	OPCODE INSTRUCTION REGISTER																
				15	14	13	12	11	10	9	8	7	6	5	4	3	2	1	0	
APAC	Add P register to accumulator	1	1	0	1	1	1	1	1	1	1	1	1	0	0	0	1	1	1	1
LT	Load T register	1	1	0	1	1	0	1	0	1	0	1	← D →							
LTA	LTA combines LT and APAC into one instruction	1	1	0	1	1	0	1	1	0	0	1	← D →							
LTD	LTD combines LT, APAC, and DMOV into one instruction	1	1	0	1	1	0	1	0	1	1	1	← D →							
MPY	Multiply with T register; store product in P register	1	1	0	1	1	0	1	1	0	1	1	← D →							
MPYK	Multiply T register with immediate operand; store product in P register	1	1	1	0	0	← K →													
PAC	Load accumulator from P register	1	1	0	1	1	1	1	1	1	1	1	1	0	0	0	1	1	1	0
SPAC	Subtract P register from accumulator	1	1	0	1	1	1	1	1	1	1	1	1	0	0	1	0	0	0	0

CONTROL INSTRUCTIONS																				
MNEMONIC	DESCRIPTION	NO. CYCLES	NO. WORDS	OPCODE INSTRUCTION REGISTER																
				15	14	13	12	11	10	9	8	7	6	5	4	3	2	1	0	
DINT	Disable interrupt	1	1	0	1	1	1	1	1	1	1	1	1	0	0	0	0	0	0	1
EINT	Enable interrupt	1	1	0	1	1	1	1	1	1	1	1	1	0	0	0	0	0	1	0
LST	Load status register	1	1	0	1	1	1	1	0	1	1	1	← D →							
NOP	No operation	1	1	0	1	1	1	1	1	1	1	1	1	0	0	0	0	0	0	0
POP	Pop stack to accumulator	2	1	0	1	1	1	1	1	1	1	1	1	0	0	1	1	1	0	1
PUSH	Push stack from accumulator	2	1	0	1	1	1	1	1	1	1	1	1	0	0	1	1	1	0	0
ROVM	Reset overflow mode	1	1	0	1	1	1	1	1	1	1	1	1	0	0	0	1	0	1	0
SOVM	Set overflow mode	1	1	0	1	1	1	1	1	1	1	1	1	0	0	0	1	0	1	1
SST	Store status register	1	1	0	1	1	1	1	1	0	0	1	← D →							

I/O AND DATA MEMORY OPERATIONS																			
MNEMONIC	DESCRIPTION	NO. CYCLES	NO. WORDS	OPCODE INSTRUCTION REGISTER															
				15	14	13	12	11	10	9	8	7	6	5	4	3	2	1	0
DMOV	Copy contents of data memory location into next location	1	1	0	1	1	0	1	0	0	1	1	← D →						
IN	Input data from port	2	1	0	1	0	0	0	← PA →		1	← D →							
OUT	Output data to port	2	1	0	1	0	0	1	← PA →		1	← D →							
TBLR	Table read from program memory to data RAM	3	1	0	1	1	0	0	1	1	1	1	← D →						
TBLW	Table write from data RAM to program memory	3	1	0	1	1	1	1	1	0	1	1	← D →						



TABLE DES COMMANDES DU SIMULATEUR DU TMS 320 10  
 \*\*\*\*\*

-----  
 MAIN MENU COMMANDS  
 -----

Command	Function
BH	Breakpoint Help
C	Continue Simulation
DM or <CR>	Display Main Menu
DT	Display Trace Buffer
EX	Execut Commands From Given File
IOH	Input Output Help Menu
JF	Select Journal File
L	Load New Object File
MH	Modify/Inspect Memory Help Menu
NS	Set Number Of Instructions Until Break
Q	Quit Simulation
R	Run Simulation
RH	Modify/Inspect Registers/Flags Help Menu
RS	Reset Simulator
SS	Perform Single-Step Execution
ST	Display Register Status
STR	Save Trace Buffer
TR	Toggle Trace
Z	Zero Clock Counter

-----



SUITE DE LA TABLE  
\*\*\*\*\*

-----  
MODIFY/INSPECT REGISTERS/FLAGS COMMANDS  
-----

Command	Function
ACC	Modify/Inspect Accumulator
AR	Modify/Inspect Auxiliary Registers
BIO	Modify/Inspect I/O Branch Control
CC	Modify/Inspect Clock Counter
INTF	Modify/Inspect Interrupt Flag Register
INTM	Modify/Inspect Interrupt Mode Register
P	Modify/Inspect P Register
PC	Modify/Inspect Program Counter
SK	Modify/Inspect Stack
T	Modify/Inspect T Register

-----  
MODIFY/INSPECT STATUS REGISTERS/PINS COMMANDS  
-----

Command	Function
ARP	Modify/Inspect Auxiliary Register Pointer
DP	Modify/Inspect Data Memory Page Pointer
INTM	Modify/Inspect Interrupt Mode Register
OV	Modify/Inspect Overflow Flag
OVM	Modify/Inspect Overflow Mode Register

-----

SUITE DE LA TABLE  
\*\*\*\*\*

-----  
BREAKPOINT COMMANDS

Command	Function
BDP	Breakpoint on Data Pattern When Read/Write from/to Data RAM
BDR	Breakpoint on Data RAM Read
BDRW	Breakpoint on Data RAM Read and Write
BDW	Breakpoint on Data RAM Write
BER	Breakpoint on an Error Condition
BIAQ	Breakpoint on Instruction Acquisition
BPP	Breakpoint on Data Pattern When Read from Program ROM
BPR	Breakpoint on Program ROM Read
DB	Display Breakpoints
RB	Remove Breakpoint

-----  
MODIFY/INSPECT MEMORY COMMANDS

Command	Function
RAM	Modify/Inspect Individual Data RAM
RAMH	Display Data RAM in Hex
RAMI	Display Data RAM in Integer
ROM	Modify/Inspect Individual Program ROM
ROMH	Display Program ROM in Hex
ROMI	Display Program ROM in Integer

-----



SUITE DE LA TABLE  
\*\*\*\*\*

-----  
INPUT/OUTPUT T COMMANDS  
-----

Command	Function
LF	List Files Assigned to Ports
RSI	Reset Selected Input Port File
SI	Select Input Port File
SO	Select Output Port File

-----  
INTERRUPT/TIMING COMMANDS  
-----

Command	Function
TIC	Specify Number of Clock Tics till Interrupt
ZTIC	Disable the Commands

-----



Unité de traitement numérique du signal :	S 2811 A.M.I.	2920 Intel	7720 Nec	DSP Bell	TMS 320 M 10 Texas Instr.	MB 8764 Fujitsu
Technologie	V-Mos	N-Mos	N-Mos	N-Mos	N-Mos	C-Mos
Mémoire programme	250 mots de 17 bits (ROM)	192 mots de 24 bits (E-PROM)	512 mots de 23 bits (ROM)	1 024 mots de 16 bits (ROM)	1 536 mots de 16 bits (ROM)	1 024 mots de 24 bits (ROM)
Mémoire des données (RAM)	128 mots de 16 bits	40 mots de 25 bits	128 mots de 16 bits	128 mots de 20 bits	144 mots de 16 bits	deux fois 128 mots de 16 bits
Mémoire des coefficients (ROM)	128 mots de 16 bits	—	512 mots de 13 bits	—	—	—
Durée d'une instruction	300 ns (multiplication, addition et stockage)	400 ns (décalage, addition et stockage)	250 ns (multiplication seule)	800 ns (multiplication et accumulation)	400 ns (multiplication et accumulation)	100 ns (74 ns multiplication seule)
Nombre de sections de filtre du 2ème ordre pour un échantillonnage à 8 kHz	50	19	55	39	62	Note 1

**Principaux microprocesseurs spécialisés dans le traitement du signal .**

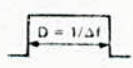
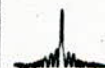


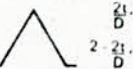

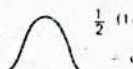

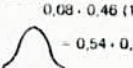

Type de fenêtre	Forme de la fenêtre temporelle et équation correspondante	Allure du spectre en fréquence	Amplitude du 1er lobe secondaire par rapport au lobe central (dB)	Largeur du lobe central (à -3dB)	Largeur équivalente au bruit	Pente d'atténuation des lobes secondaires (dB/oct)
Rectangle (fenêtre naturelle)	 $D = 1/\Delta f$		-13,2	$0,88 \Delta f$	$\Delta f$	6
Demi sinusode	 $\sin \frac{\pi t}{D}$		-22,4	$1,15 \Delta f$	$1,26 \Delta f$	12
Triangle (Bartlett)	 $\frac{2t}{D}$ de 0 à $\frac{D}{2}$ $2 - \frac{2t}{D}$ de $\frac{D}{2}$ à D		-26,6	$1,28 \Delta f$	$1,33 \Delta f$	12
Cosinus carré (Hann)	 $\frac{1}{2} (1 + \cos \frac{\pi t}{D}) - \cos^2 \frac{\pi t}{2D}$		-31,6	$1,39 \Delta f$	$1,5 \Delta f$	18
Cosinus carré et décalage 8 % (Hamming)	 $0,08 + 0,46 (1 + \cos \frac{\pi t}{D}) - 0,54 + 0,46 \cos \frac{\pi t}{D}$		-43,9	$1,26 \Delta f$	$1,36 \Delta f$	6 (à partir de $5 \Delta f$ )

Fig. 6-26 -

Dans le choix d'une fenêtre de correction, il faut tenir compte de la nature du signal analysé (périodique ou bruit, par exemple) et viser le meilleur compromis. La durée de fenêtre est de  $D = NT$ .

## B I B L I O G R A P H I E

- 1 - M - AUMIAUX  
" L'emploi des microprocesseurs " Edition MASSON 1982
- 2 - M - COUVRAT  
" Reconnaissance de la parole continue  
par des méthodes globales " CNET 1982
- 3 - C - DARDANNE  
" Le microprocesseur 6809 " Edition EYROLLES 1982
- 4 - M - FERRITTI , F - CINARE  
" Synthèse , reconnaissance de la parole " Edition TESTS 1983
- 5 - D - JOUVET  
" Etude de la faisabilité de l'analyse cepstrale  
sur le processeur de traitement de signal du CNET" CNET 1982
- 6 - M - KUNT  
" Traitement numérique des signaux " MASSON 1980
- 7 - J - LIEFERMANN  
" Les méthodes rapides de transformation  
du signal " MASSON 1980
- 8 - A - MENACER  
" Reconnaissance de la parole en mode  
multilocuteur par des méthodes globales  
( mots isolés ) " Thèse Docteur -  
Ingénieur 1985
- 9 - R - MIQUEL  
" Le filtrage numérique par microprocesseur " Edition TESTS 1985

- IO - L.R - RABINER      R.W → SCHAFFER  
" Digital processing of speech signals "      by bell laboratories  
incorporated 1978
- II - TEXAS INSTRUMENTS  
" T M S 320 IO Assembly langage programmer's  
guide "      Revue TI 1983
- I2 - TEXAS INSTRUMENTS  
" Digital signal processor "      Revue TI 1983
- I3 - TEXAS INSTRUMENTS  
" Simulator "      Revue TI 1983